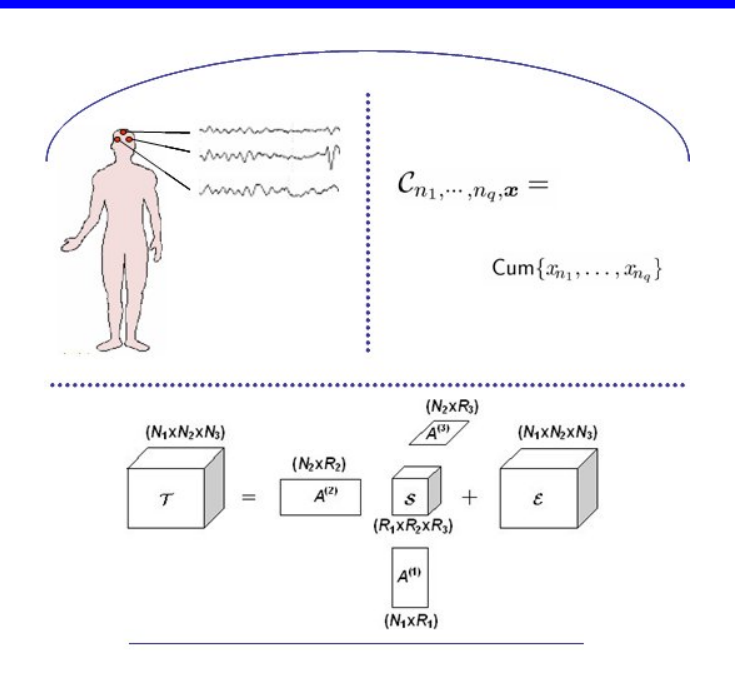
# Biomédical : localisation intracérébrale

Laurent Albera









- Contexte applicatif et formulation du problème
  - 1. Les épilepsies pharmacorésistantes
  - 2. Méthodes d'observation non invasives
  - 3. Modélisation et localisation de sources
- II. Quelques outils mathématiques
  - 1. Tenseurs et décompositions associées
  - 2. Statistiques d'ordre supérieur
- III. La méthode 2q-ExSo-MUSIC (q>1)
  - 1. Principe de la méthode
  - 2. Gain de la méthode
  - Limitations de la méthode
- IV. Conclusions et perspectives

- I. Contexte applicatif et formulation du problème
  - 1. Les épilepsies pharmacorésistantes
  - 2. Méthodes d'observation non invasives
  - 3. Modélisation et localisation de sources
- II. Quelques outils mathématiques
  - 1. Tenseurs et décompositions associées
  - 2. Statistiques d'ordre supérieur
- III. La méthode 2q-ExSo-MUSIC (q>1)
  - 1. Principe de la méthode
  - 2. Gain de la méthode
  - Limitations de la méthode
- IV. Conclusions et perspectives

## Qu'est-ce que l'épilepsie?

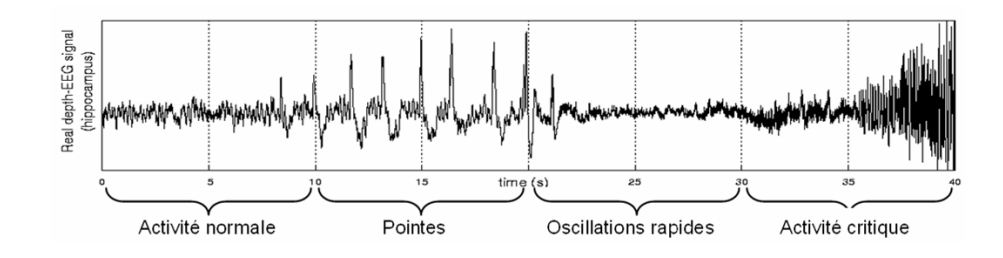
- Maladie neurologique caractérisée par la répétition de crises
- conséquences socioprofessionnelles importantes
- Fonctionnement anormal, aigu et transitoire de l'activité électrique du cerveau
  - Foyer épileptique

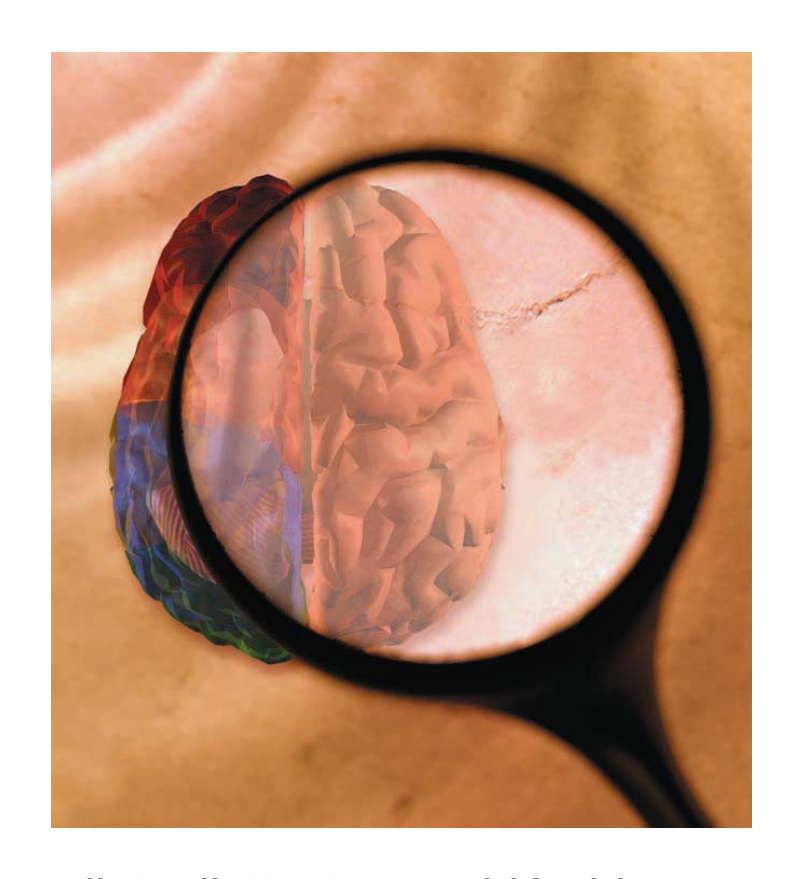


- Trouble neurologique le plus courant : 1% de la population
- Epilepsie pharmaco-résistantes
  - Foyer épileptique

## Comment la soigner ?

- •Chirurgie : résection du foyer épileptique
- Pré-requis : localisation du ou des foyers épileptiques
- utilisation de mesures intracérébrales de l'activité neuronale (caractère invasif)

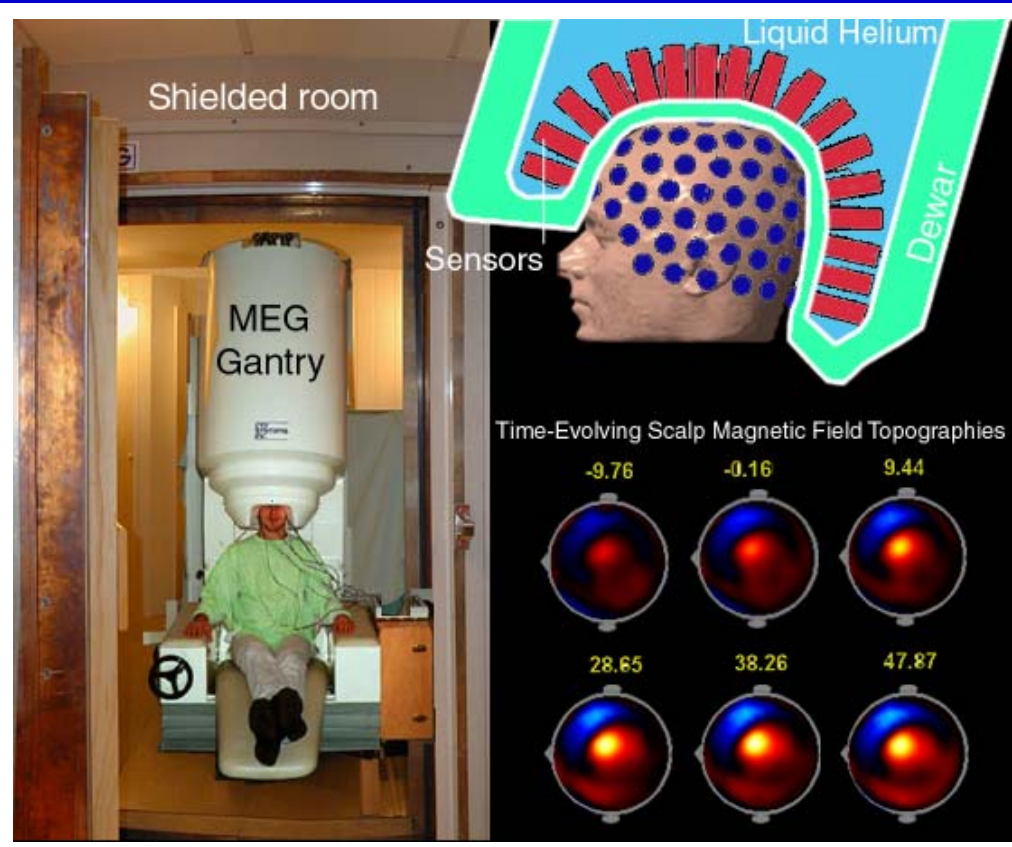




- coût onéreux du processus occasionnant une liste d'attente considérable (~300 bilans préopératoires seulement par an pour environ 10 000 candidats à la chirurgie)
- •Méthodes non invasives : l'EEG ou la MEG?

- I. Contexte applicatif et formulation du problème
  - 1. Les épilepsies pharmacorésistantes
  - 2. Méthodes d'observation non invasives
  - 3. Modélisation et localisation de sources
- II. Quelques outils mathématiques
  - 1. Tenseurs et décompositions associées
  - 2. Statistiques d'ordre supérieur
- III. La méthode 2q-ExSo-MUSIC (q>1)
  - 1. Principe de la méthode
  - Intérêt de la méthode
  - 3. Limitations de la méthode
- IV. Conclusions et perspectives

## La magnétoencéphalographie



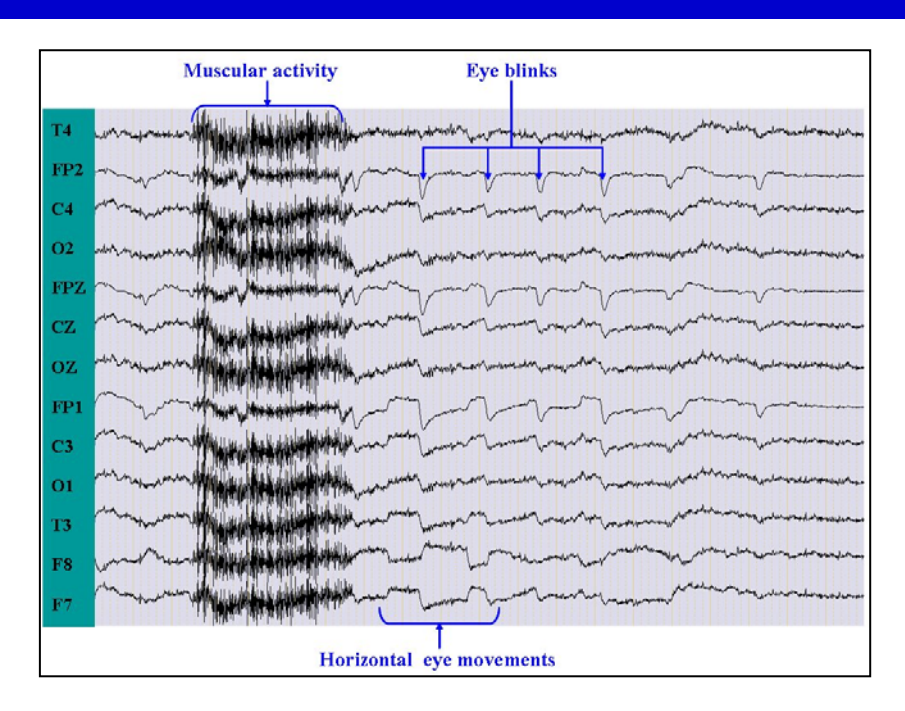
S. Baillet, J. C. Mosher, and R.M. Leahy. Electromagnetic brain mapping. IEEE Signal Processing Magazine, 18(6):14–30, Nov. 2001. Avec permission.

- Champs magnétique issu de l'activité cérébrale enregistré en 1968 par David Cohen (physicien du MIT, spécialisé dans les blindages magnétiques);
- De l'ordre de 100 femtoteslas à la surface de la tête, soit 10 milliards de fois plus faible que le champs magnétique terrestre ;

• Capteurs SQUID (Superconducting QUantum Interference Device, inventé par Jim Zimmerman en 1965) plongés dans un cryostat rempli d'hélium liquide à -269°C;

## L'électroencéphalographie

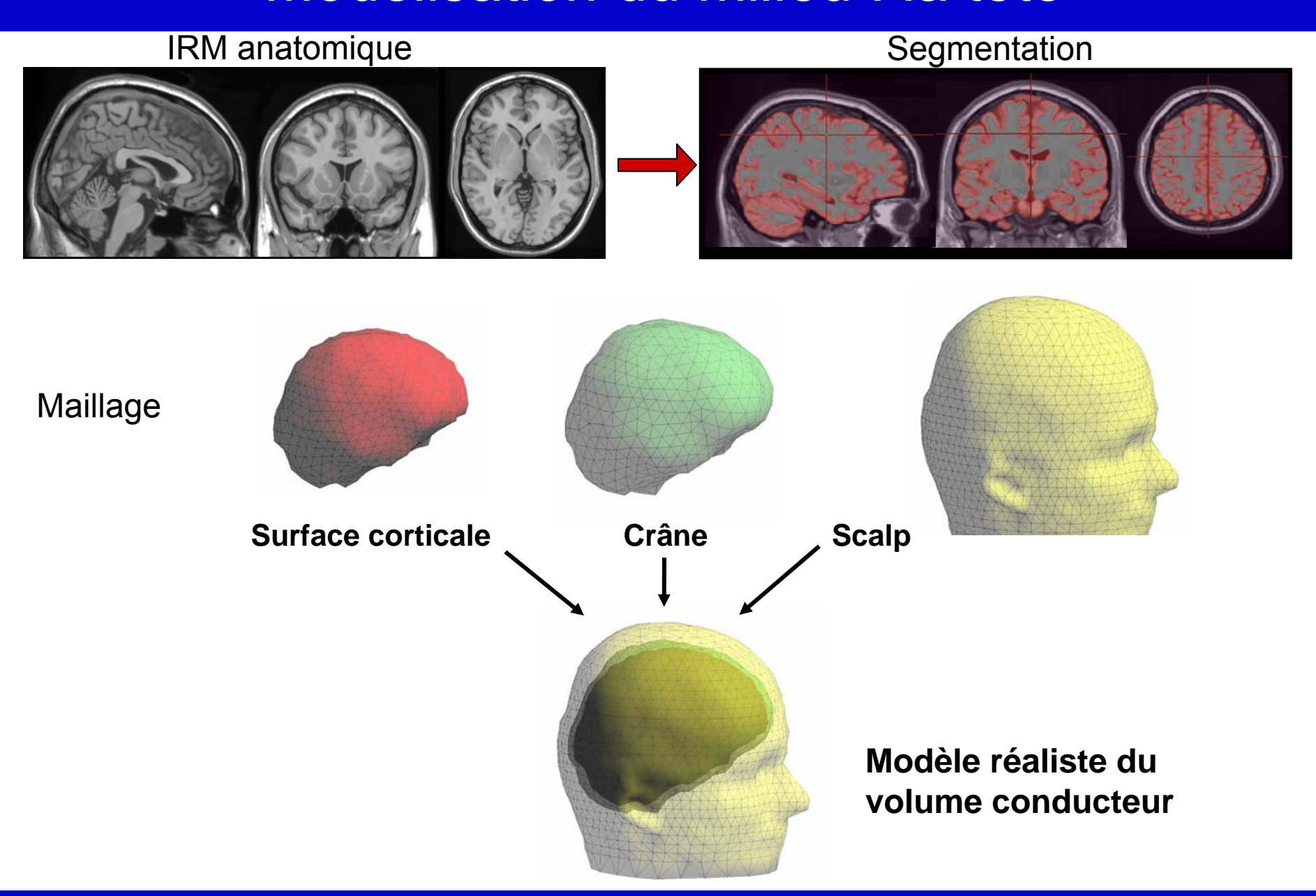




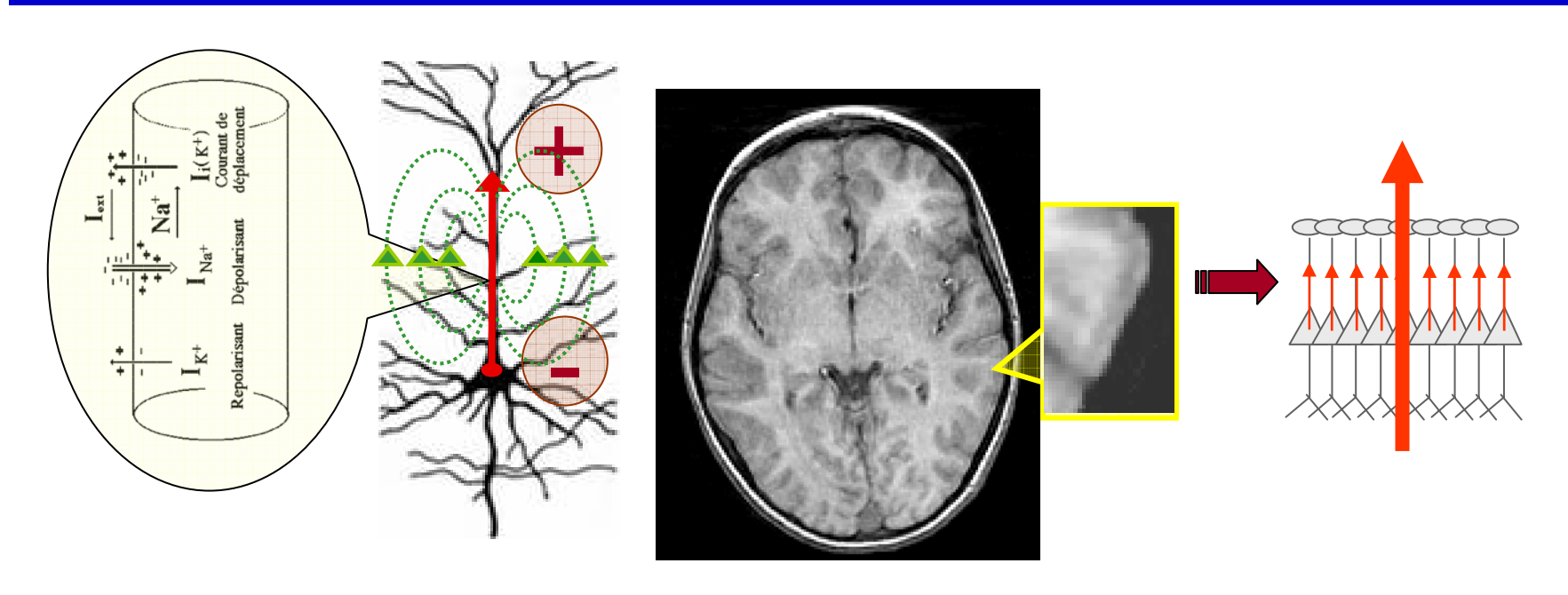
- Différences de **potentiel électrique** de l'ordre de la dizaine de microvolts ;
- Modalité la plus rudimentaire et la plus ancienne avec aujourd'hui au plus 256 électrodes;
- Premières expériences menées sur des lapins et singes à même le cortex fin du XIXème;
- Première étude sur l'homme en 1920 par Hans Berger (phys. allemand).

- I. Contexte applicatif et formulation du problème
  - 1. Les épilepsies pharmacorésistantes
  - 2. Méthodes d'observation non invasives
  - 3. Modélisation et localisation de sources
- II. Quelques outils mathématiques
  - 1. Tenseurs et décompositions associées
  - 2. Statistiques d'ordre supérieur
- III. La méthode 2q-ExSo-MUSIC (q>1)
  - 1. Principe de la méthode
  - 2. Gain de la méthode
  - Limitations de la méthode
- IV. Conclusions et perspectives

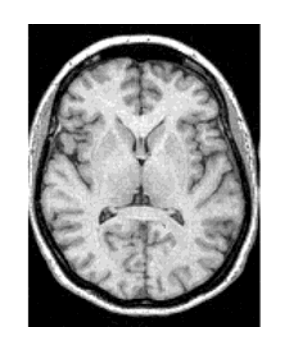
### Modélisation du milieu : la tête



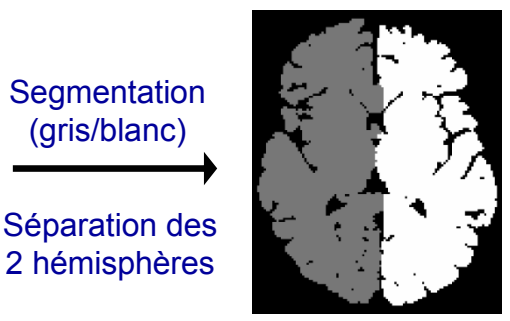
## Modélisation de l'activité cérébrale : sources dipolaires distribuées



#### Maillage réaliste de la surface corticale



IRM anatomique



Volume binaire

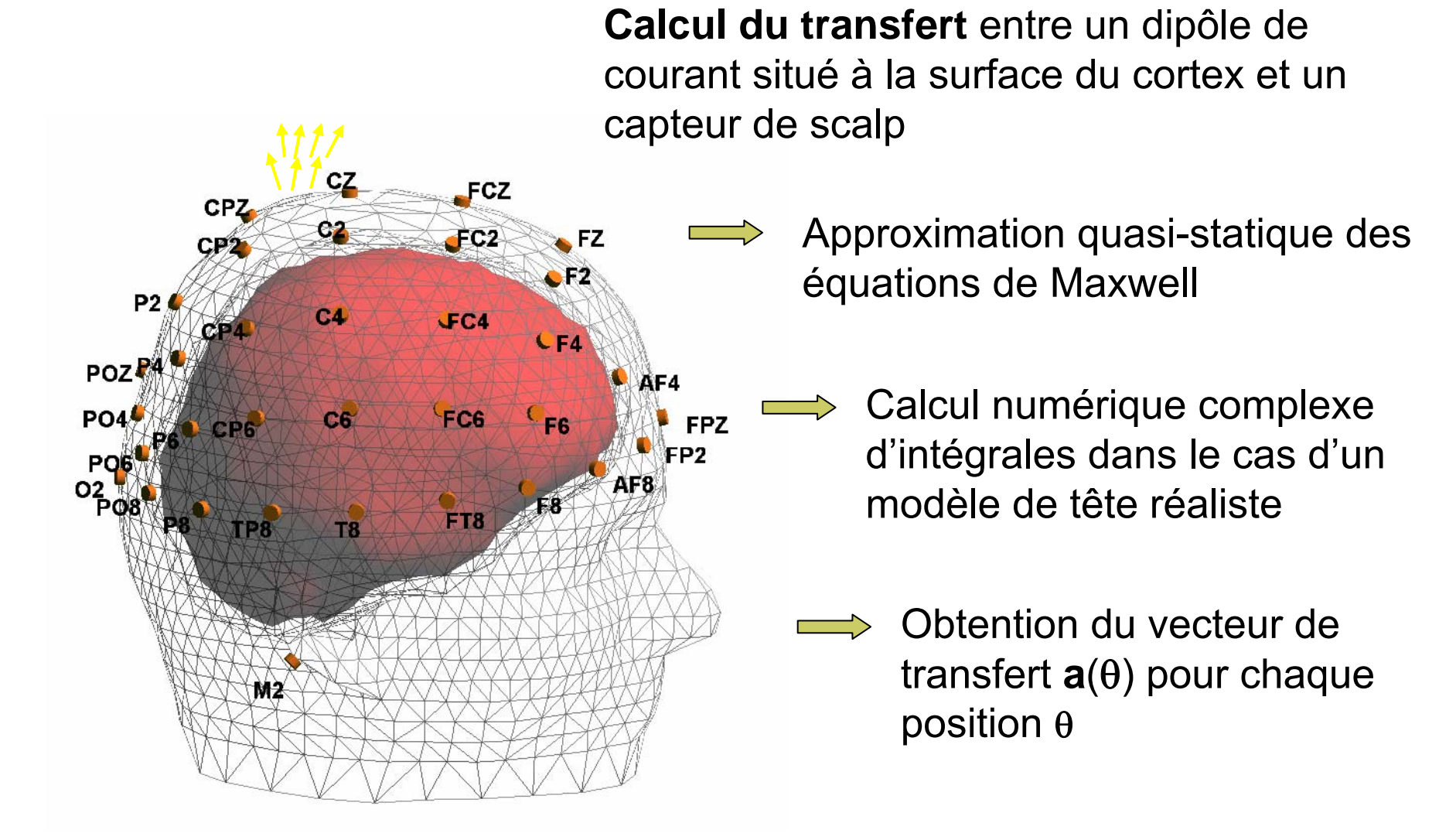


surfacique (triangles)

#### 1 triangle = 1 dipôle

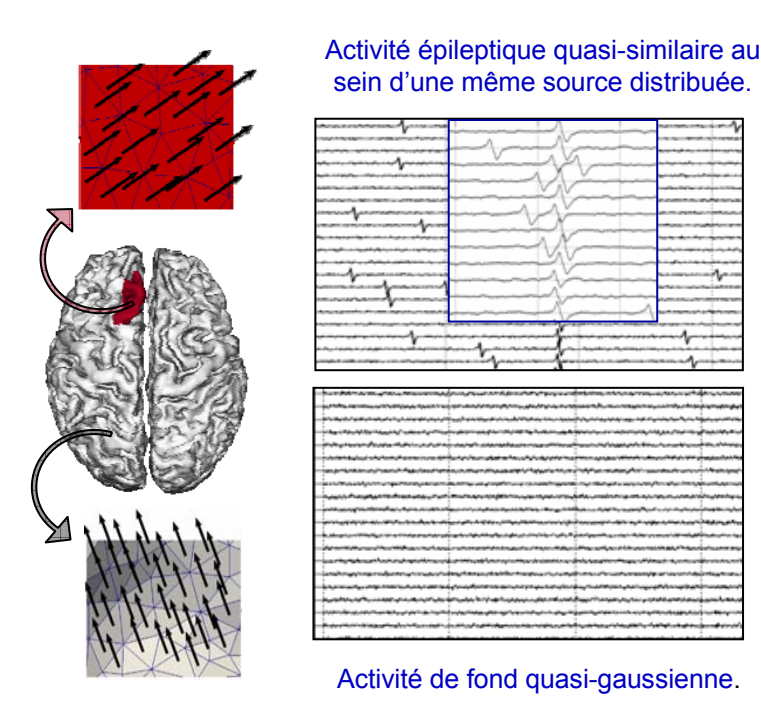


## Modélisation du transfert de l'activité cérébrale vers les électrodes EEG de surface



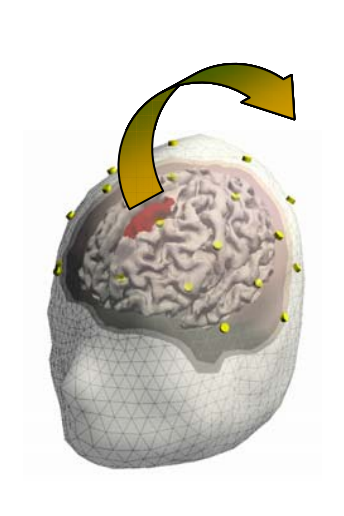
## Localisation de générateurs épileptiques

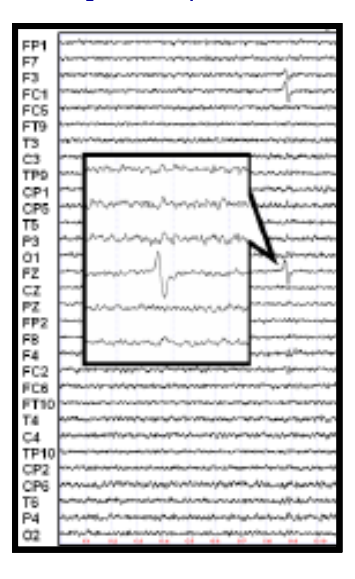
#### Activité à la surface du cortex



Activité à la surface du scalp

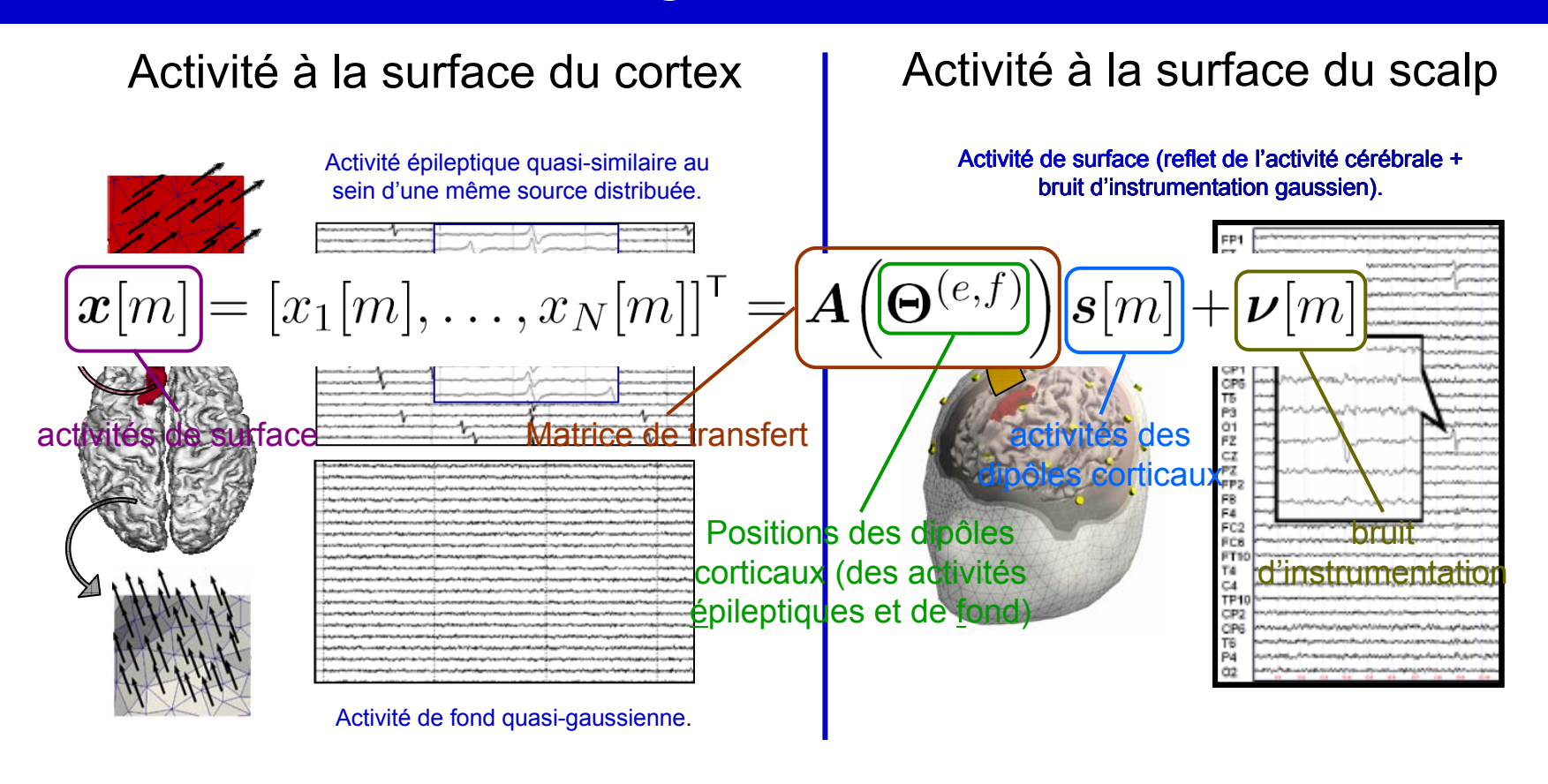
Activité de surface (reflet de l'activité cérébrale + bruit d'instrumentation gaussien).





- **Objectif**: localiser les générateurs cérébraux d'activité électrique pathologique et spatialement distribuée à partir de signaux de scalp;
- Difficultés : problème mal posé, erreurs de modèle, faible SNR, etc.

## Localisation de générateurs épileptiques

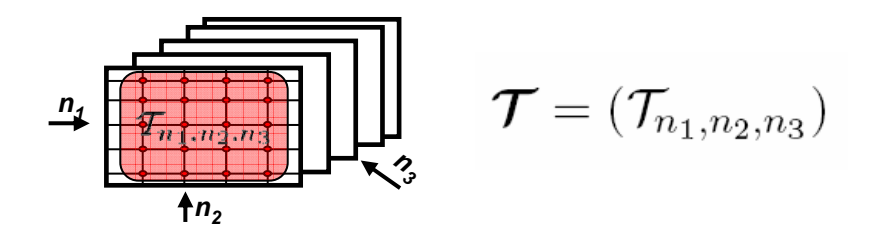


- **Objectif**: localiser les générateurs cérébraux d'activité électrique pathologique et spatialement distribuée à partir de signaux de scalp ;
- Difficultés : problème mal posé, erreurs de modèle, faible SNR, etc.

- I. Contexte applicatif et formulation du problème
  - 1. Les épilepsies pharmacorésistantes
  - 2. Méthodes d'observation non invasives
  - 3. Modélisation et localisation de sources
- II. Quelques outils mathématiques
  - 1. Tenseurs et décompositions associées
  - 2. Statistiques d'ordre supérieur
- III. La méthode 2q-ExSo-MUSIC (q>1)
  - 1. Principe de la méthode
  - 2. Gain de la méthode
  - 3. Limitations de la méthode
- IV. Conclusions et perspectives

## Tableaux d'ordre supérieur

- **Notation** en gras minuscule des vecteurs, en gras majuscule des matrices et en gras calligraphique des tableaux à plus de deux indices.
- Définition d'un tableau d'ordre q : tableau à q entrées.
  - tableau d'ordre 3



- Représentation d'une application multi-linéaire (tenseur) par un tableau d'ordre supérieur à deux pour un choix de bases données.
- Notation compacte :  $\mathcal{T} = (m{A}^{(1)}, \dots, m{A}^{(q)}) \cdot m{\mathcal{S}}$

pour 
$$\mathcal{T}_{n_1,...,n_q} = \sum_{r_1=1}^{R_1} ... \sum_{r_q=1}^{R_q} \mathcal{S}_{r_1,...,r_q} A_{n_1,r_1}^{(1)} ... A_{n_q,r_q}^{(q)}$$

## Dépliements matriciels (1/2)

- $\mathrm{mat}_1(\mathcal{T})$ : dépliement matriciel d'un tableau  $\mathrm{carr} \acute{\mathbf{e}}^{(1)}$  (tableau dont les dimensions sont identiques) d'ordre supérieur.
  - tableau d'ordre 4 de dimensions  $(N \times N \times N \times N)$

$$(\operatorname{mat}_1(\mathbf{T}))_{i,j} = \mathcal{T}_{n_1,n_2,n_3,n_4}$$

avec: 
$$i = (n_1 - 1)N + n_4$$
 et:  $j = (n_3 - 1)N + n_2$ 

tableau d'ordre 6 de dimensions (*N*×*N*×*N*×*N*×*N*×*N*)

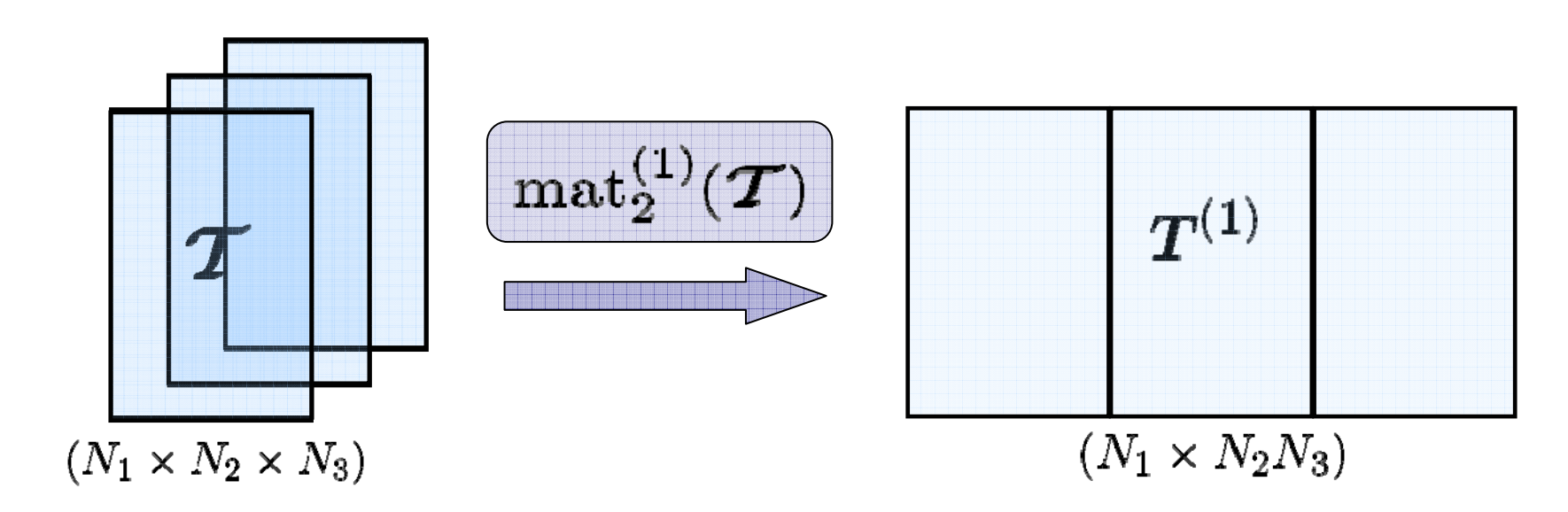
$$(\text{mat}_1(\mathbf{T}))_{i,j} = \mathcal{T}_{n_1,n_2,n_3,n_4,n_5,n_6}$$

avec: 
$$i = (n_1 - 1)N^2 + (n_2 - 1)N + n_6$$
  
 $j = (n_4 - 1)N^2 + (n_5 - 1)N + n_3$ 

<sup>(1)</sup> L'adjectif **cubique** est également employé.

## Dépliements matriciels (2/2)

- $\mathrm{mat}_2^{(i)}(\mathcal{T})$  : dépliement matriciel d'un tableau d'ordre supérieur dont les dimensions sont quelconques.
  - tableau d'ordre 3 de dimensions  $(N_1 \times N_2 \times N_3)$



•  $ext{vec}(\mathcal{T})$  : dépliement vectoriel d'un tableau d'ordre supérieur dont les dimensions sont quelconques.

#### Produits matriciels

• **Produit de Kronecker**  $G \otimes H$  entre deux matrices rectangulaires de tailles respectives  $(N_G \times P_G)$  et  $(N_H \times P_H)$ :

$$oldsymbol{G} oldsymbol{G} oldsymbol{H} = \left[ egin{array}{ccccc} G_{1,1} oldsymbol{H} & G_{1,2} oldsymbol{H} & \cdots & G_{1,P_G} oldsymbol{H} \ G_{2,1} oldsymbol{H} & G_{2,2} oldsymbol{H} & \cdots & G_{2,P_G} oldsymbol{H} \ dots & dots & \ddots & dots \ G_{N_G,1} oldsymbol{H} & G_{N_G,2} oldsymbol{H} & \cdots & G_{N_G,P_G} oldsymbol{H} \end{array} 
ight]$$

• Produit de Khatri-Rao  $G \odot H$  entre deux matrices rectangulaires de tailles respectives  $(N_G \times P)$  et  $(N_H \times P)$ :

$$\boldsymbol{G}\odot \boldsymbol{H} = [\boldsymbol{g}_1\otimes \boldsymbol{h}_1, \boldsymbol{g}_2\otimes \boldsymbol{h}_2, \cdots, \boldsymbol{g}_P\otimes \boldsymbol{h}_P]$$

où  $oldsymbol{g}_j$  et  $oldsymbol{h}_j$  représentent respectivement la  $oldsymbol{\emph{j}}$ -ième colonne de  $oldsymbol{G}$  et  $oldsymbol{H}$  .

## Extension de la SVD aux ordres supérieurs

Deux manières au moins d'étendre la Décomposition en Valeurs Singulières (SVD) de matrices  $T=(A^{(1)},A^{(2)})\cdot S$  au cas de tableaux d'ordre supérieur ou égal à 3 :

$$\mathcal{T} = (\boldsymbol{A}^{(1)}, \dots, \boldsymbol{A}^{(q)}) \cdot \boldsymbol{\mathcal{S}}$$

- en conservant l'orthogonalité des matrices  ${m A}^{(i)}$  de facteurs et l'orthogonalité entre les tableaux d'ordre q-1 extraits du tableau cœur  ${m \mathcal S}$
- décomposition de Tucker3 orthogonale, HOSVD (Higher Order SVD)
- $oldsymbol{\cdot}$  en conservant la diagonalité du tableau cœur  $oldsymbol{\mathcal{S}}$
- décomposition canonique

## Rang et décomposition canonique

- Tableau de rang 1 : tableau  $\mathcal T$  de la forme  $\mathcal T=(a^{(1)},\dots,a^{(q)})\cdot s$  où  $a^{(i)}$  est un vecteur colonne et s un scalaire.
- **Décomposition canonique** d'un tableau  $\mathcal{T}$  d'ordre supérieur : somme de R tableaux de rang 1 décrivant exactement le tableau  $\mathcal{T}$  où R est le plus petit possible.

$$\mathcal{T} = (\boldsymbol{A}^{(1)}, \dots, \boldsymbol{A}^{(q)}) \cdot \boldsymbol{\mathcal{S}} = \sum_{r=1}^R (\boldsymbol{a}_r^{(1)}, \dots, \boldsymbol{a}_r^{(q)}) \cdot \mathcal{S}_{p,\dots,p}$$

- Rang d'un tableau  $\mathcal{T}$  d'ordre supérieur : le nombre R de tableaux de rang 1 dans la décomposition canonique de  $\mathcal{T}$ .
- il peut être strictement supérieur à la plus petite dimension
- sauf cas particuliers, pas d'algorithme direct de calcul de rang
- pour un tableau à valeurs réelles, il peut être différent selon que l'on travaille sur  $\mathbb R$  ou sur  $\mathbb C$

## Décomposition canonique et unicité (1/2)

• Matrice triviale : matrice de la forme D  $\Pi$  où D est une matrice diagonale et  $\Pi$  une matrice de permutation.

• Unicité essentielle de la décomposition canonique : unicité à des matrices triviales près dites indéterminations triviales

$$({m A}^{(1)},\ldots,{m A}^{(q)})\cdot{m {\cal S}}=({m A}^{(1)}\,{m D}^{(1)}\,{m \Pi},\ldots,{m A}^{(q)}\,{m D}^{(q)}\,{m \Pi})\cdot{m {\cal S}}$$

où  $oldsymbol{\Pi}$  est une matrice de permutation et  $oldsymbol{D}^{(i)}$  une matrice diagonale telle que

$$\prod_{i=1}^q oldsymbol{D}^{(i)} = \mathbf{I}_R$$

## Décomposition canonique et unicité (2/2)

- Rang de Kruskal d'une matrice A, noté  $\mathrm{rk}_K(A)$ : le plus grand entier naturel  $\ell$  tel que toute famille de  $\ell$  vecteurs colonnes de la matrice A est libre.
- Soit une matrice A de taille (2×3) définie par  $A = \begin{pmatrix} 3 & 2 & 1 \\ 5 & 4 & 2 \end{pmatrix}$ , son rang de Kruskal vaut alors 1.

• Condition d'unicité essentielle de la décomposition canonique  $\mathcal{T}=(\boldsymbol{A}^{(1)},\dots,\boldsymbol{A}^{(q)})\cdot\boldsymbol{\mathcal{S}}$  d'un tableau  $\mathcal{T}$  d'ordre q :

$$2R + q - 1 \le \sum_{i=1}^{q} \operatorname{rk}_{K}(\boldsymbol{A}^{(i)})$$

- Contexte applicatif et formulation du problème
  - 1. Les épilepsies pharmacorésistantes
  - 2. Méthodes d'observation non invasives
  - 3. Modélisation et localisation de sources
- II. Quelques outils mathématiques
  - 1. Tenseurs et décompositions associées
  - 2. Statistiques d'ordre supérieur
- III. La méthode 2q-ExSo-MUSIC (q>1)
  - 1. Principe de la méthode
  - 2. Gain de la méthode
  - Limitations de la méthode
- IV. Conclusions et perspectives

## Tableaux cumulant d'ordre q (1/3)

- Soit  $\Psi_x$  la fonction caractéristique de seconde espèce d'un vecteur aléatoire x à valeurs dans  $\mathbb{R}^N$ définie par  $\Psi_x(u) = \ln(\mathbb{E}[e^{\mathrm{i}\,u^\mathsf{T}x}])$ .
- Soit  $\mathcal{C}_{q, \boldsymbol{x}} = \left(\mathcal{C}_{n_1, \dots, n_q, \boldsymbol{x}}\right)$  le tableau cumulant d'ordre  $\boldsymbol{q}$  ( $\boldsymbol{q} \ge 1$ ) de  $\boldsymbol{x}$  défini par :  $\left. \mathcal{C}_{n_1, \dots, n_q, \boldsymbol{x}} = (-\mathrm{i})^q \left. \frac{\partial^q \Psi_{\boldsymbol{x}}(\boldsymbol{u})}{\partial u_{n_1} \dots \partial u_{n_q}} \right|_{\boldsymbol{u} = \boldsymbol{0}} \right.$
- Extension au cas d'un vecteur aléatoire  $\boldsymbol{x}$  à valeurs dans  $\mathbb{C}^N$ : considérer la fonction définie de  $\mathbb{C}^N \times \mathbb{C}^N$  dans  $\mathbb{C}$  par  $\Psi_{\boldsymbol{x},\boldsymbol{x}^*}(\boldsymbol{u},\boldsymbol{u}^*) = \ln(\mathbb{E}[e^{\mathrm{i}\,\Re(\boldsymbol{u}^\mathsf{H}\boldsymbol{x})}])$ .
- Soit  $C_{r,x}^{q-r}=\left(C_{n_1,\dots,n_r,x}^{n_{r+1},\dots,n_q}\right)$  le tableau cumulant d'ordre q ( $q\geq 1$ ) de x défini par :

$$\mathcal{C}_{n_1,\dots,n_r,\boldsymbol{x}}^{n_{r+1},\dots,n_q} = (-2\mathrm{i})^q \left. \frac{\partial^q \Psi_{\boldsymbol{x},\boldsymbol{x}^*}(\boldsymbol{u},\boldsymbol{u}^*)}{\partial u_{n_1}^* \dots \partial u_{n_r}^* \partial u_{n_{r+1}} \dots \partial u_{n_q}} \right|_{(\boldsymbol{u},\boldsymbol{u}^*)=(\mathbf{0},\mathbf{0})}$$

## Tableaux cumulant d'ordre q(2/3)

- Relation entre cumulants d'ordre q et moments d'ordre inférieur ou égal à q : formule de Leonov-Shirayev
- Tableaux cumulant d'ordre 2, 3 et 4 d'un vecteur aléatoire centré à valeurs dans  $\mathbb{C}^N$ :

$$m{\mathcal{C}}_{1,\,m{x}}^1 = ig(\mathcal{C}_{n_1,m{x}}^{n_2}ig)$$
 donné par :  $\mathcal{C}_{n_1,m{x}}^{n_2} = \mathbb{E}[x_{n_1}x_{n_2}^*]$ 

$$\mathcal{C}^1_{2,m{x}} = (\mathcal{C}^{n_3}_{n_1,n_2,m{x}}) \;\; ext{donn\'e par} : \;\; \mathcal{C}^{n_3}_{n_1,n_2,m{x}} = \mathbb{E}[x_{n_1}x_{n_2}x^*_{n_3}]$$

$$\mathcal{C}^2_{2,m{x}}\!=\!(\mathcal{C}^{n_3,n_4}_{n_1,n_2,m{x}})$$
 donné par :

$$C_{n_1,n_2,\boldsymbol{x}}^{n_3,n_4} = \mathbb{E}[x_{n_1}x_{n_2}x_{n_3}^*x_{n_4}^*] - \mathbb{E}[x_{n_1}x_{n_2}]\mathbb{E}[x_{n_3}^*x_{n_4}^*] - \mathbb{E}[x_{n_1}x_{n_2}^*]\mathbb{E}[x_{n_2}x_{n_4}^*] - \mathbb{E}[x_{n_1}x_{n_4}^*]\mathbb{E}[x_{n_2}x_{n_3}^*]$$

## Tableaux cumulant d'ordre q (3/3)

- Quelques propriétés...
- Caractère hermitien du tableau cumulant d'un vecteur aléatoire complexe;
- Indépendance : soit s un vecteur aléatoire dont les composantes sont mutuellement indépendantes, alors  $\mathcal{C}_{r,s}^{q-r}$  est diagonal ;
- Additivité : soient y et  $\nu$  deux vecteurs aléatoires indépendants, alors  $\mathcal{C}_{r,y+\nu}^{q-r} = \mathcal{C}_{r,y}^{q-r} + \mathcal{C}_{r,\nu}^{q-r}$ ;
- Gaussianité : soit  $m{
  u}$  un vecteur gaussien, alors  $m{\mathcal{C}}_{r,m{
  u}}^{q-r}=m{0}$  ;
- $\longrightarrow$  Multi-linéarité : soit  $x\!=\!As$  , on a alors

$$\mathcal{C}_{r,m{x}}^{q-r} = (\underbrace{m{A},\ldots,m{A}}_{r \; ext{matrices}}, \underbrace{m{A}^*,\ldots,m{A}^*}_{q-r \; ext{matrices}}) \cdot \mathcal{C}_{r,m{s}}^{q-r}$$

- Contexte applicatif et formulation du problème
  - 1. Les épilepsies pharmacorésistantes
  - 2. Méthodes d'observation non invasives
  - 3. Modélisation et localisation de sources
- II. Quelques outils mathématiques
  - 1. Tenseurs et décompositions associées
  - 2. Statistiques d'ordre supérieur
- III. La méthode 2q-ExSo-MUSIC (q>1)
  - 1. Principe de la méthode
  - 2. Gain de la méthode
  - Limitations de la méthode
- IV. Conclusions et perspectives

## Localisation de générateurs épileptiques (1/6)

• Différents types d'activités corticales (épileptiques ou de fond) :

$$x[m] = A(\Theta^{(e)}) s^{(e)}[m] + A(\Theta^{(f)}) s^{(f)}[m] + \nu[m]$$

• Quasi-similarité des activités épileptiques au sein d'une source distribuée :

$$\boldsymbol{s}^{(e)}[m] \approx \left[ [1, \dots, 1]^{\mathsf{T}} \, \overline{s}_1^{(e)}[m], \dots, [1, \dots, 1]^{\mathsf{T}} \, \overline{s}_P^{(e)}[m] \right]^{\mathsf{T}}$$

« Compression » du vecteur de sources épileptiques :

$$x[m] pprox \overline{A}(\mathbf{\Theta}^{(e)}) \overline{s}^{(e)}[m] + A(\mathbf{\Theta}^{(f)}) s^{(f)}[m] + \nu[m]$$

• Localisation par décomposition de Tucker3 contrainte (non orthogonale) :

$$egin{aligned} \mathcal{C}_{q,m{x}} &pprox (\overline{m{A}}(m{\Theta}^{(e)}),\ldots,\overline{m{A}}(m{\Theta}^{(e)})) \cdot \ \mathcal{C}_{q,\overline{m{s}}^{(e)}} + \ & (m{A}(m{\Theta}^{(f)}),\ldots,m{A}(m{\Theta}^{(f)})) \cdot \ m{c}_{q,m{f}} + m{c}_{q,m{f}} \end{aligned}$$

## Localisation de générateurs épileptiques (2/6)

**Illustration de l'approche** avec le tableau cumulant  $oldsymbol{\mathcal{C}}_{q,oldsymbol{x}}$  d'ordre 4

• Dépliement matriciel du tableau cumulant avec  $m{\Lambda_s} = ext{mat}_1(m{\mathcal{C}}_{4,m{s}})$  :

$$egin{aligned} m{T} &= & ext{mat}_1(m{\mathcal{C}}_{4,m{x}}) \ &pprox &= & (\overline{m{A}}(m{\Theta}^{(e)}) \otimes \overline{m{A}}(m{\Theta}^{(e)})) \; m{\Lambda_s} \; (\overline{m{A}}(m{\Theta}^{(e)}) \otimes \overline{m{A}}(m{\Theta}^{(e)}))^{\scriptscriptstyle\mathsf{T}} \end{aligned}$$

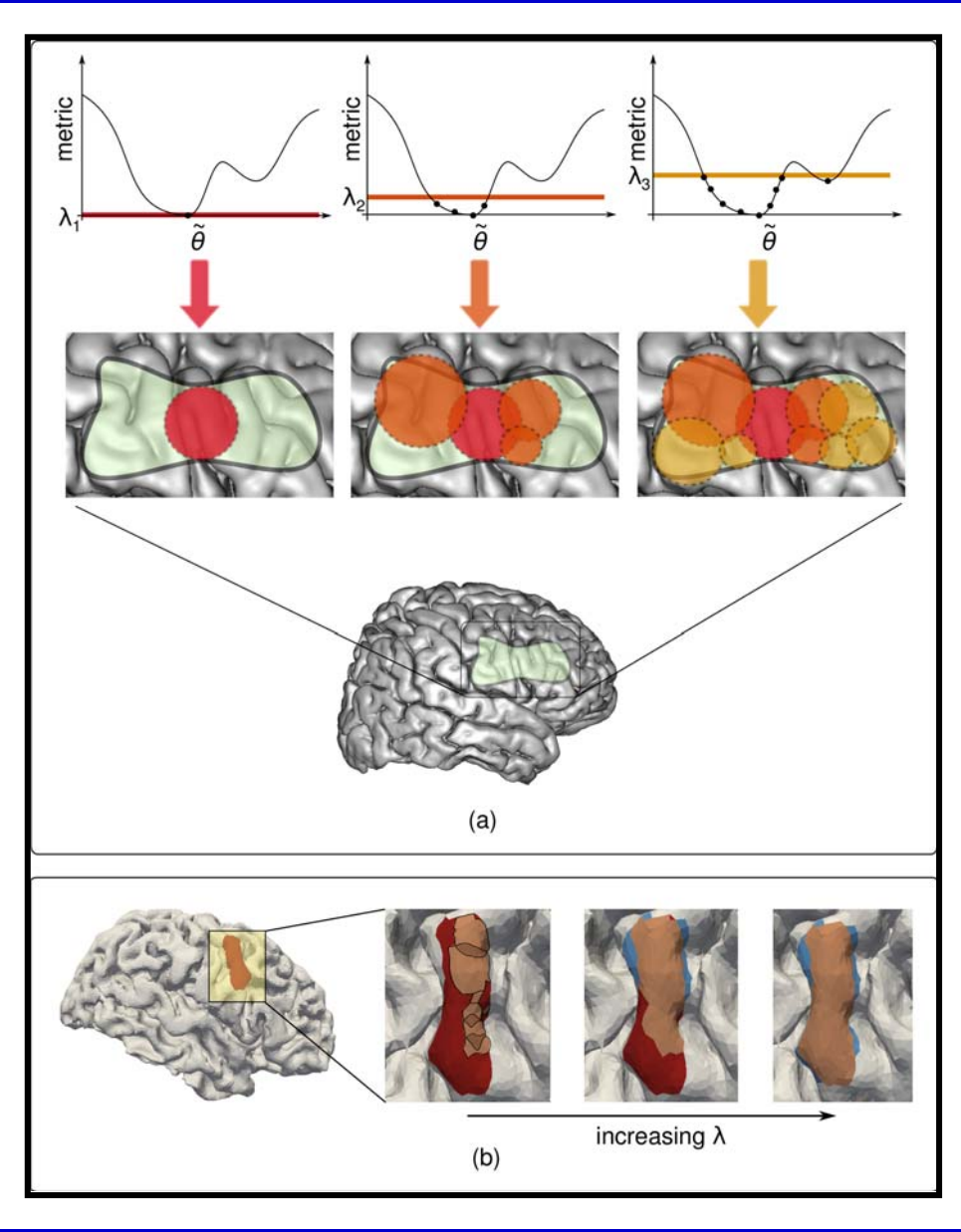
ullet Calcul de la matrice  $E_s$  des **vecteurs propres** associés aux **valeurs** propres non nulles de T :

$$T=oldsymbol{E_s} oldsymbol{\Lambda_s} oldsymbol{E_s}^{\scriptscriptstyle op}$$

• Calcul d'une **métrique** de type 4-MUSIC :

$$\Psi(\overline{\boldsymbol{a}}(\boldsymbol{\Theta}) \otimes \overline{\boldsymbol{a}}(\boldsymbol{\Theta}), \boldsymbol{E_s}) = \\ (\overline{\boldsymbol{a}}(\boldsymbol{\Theta}) \otimes \overline{\boldsymbol{a}}(\boldsymbol{\Theta}))^{\mathsf{T}} \boldsymbol{E_s} (\boldsymbol{E_s}^{\mathsf{T}} \boldsymbol{E_s})^{-1} \boldsymbol{E_s}^{\mathsf{T}} (\overline{\boldsymbol{a}}(\boldsymbol{\Theta}) \otimes \overline{\boldsymbol{a}}(\boldsymbol{\Theta}))$$

## La méthode 2*q*-ExSo-MUSIC (*q*≥2)



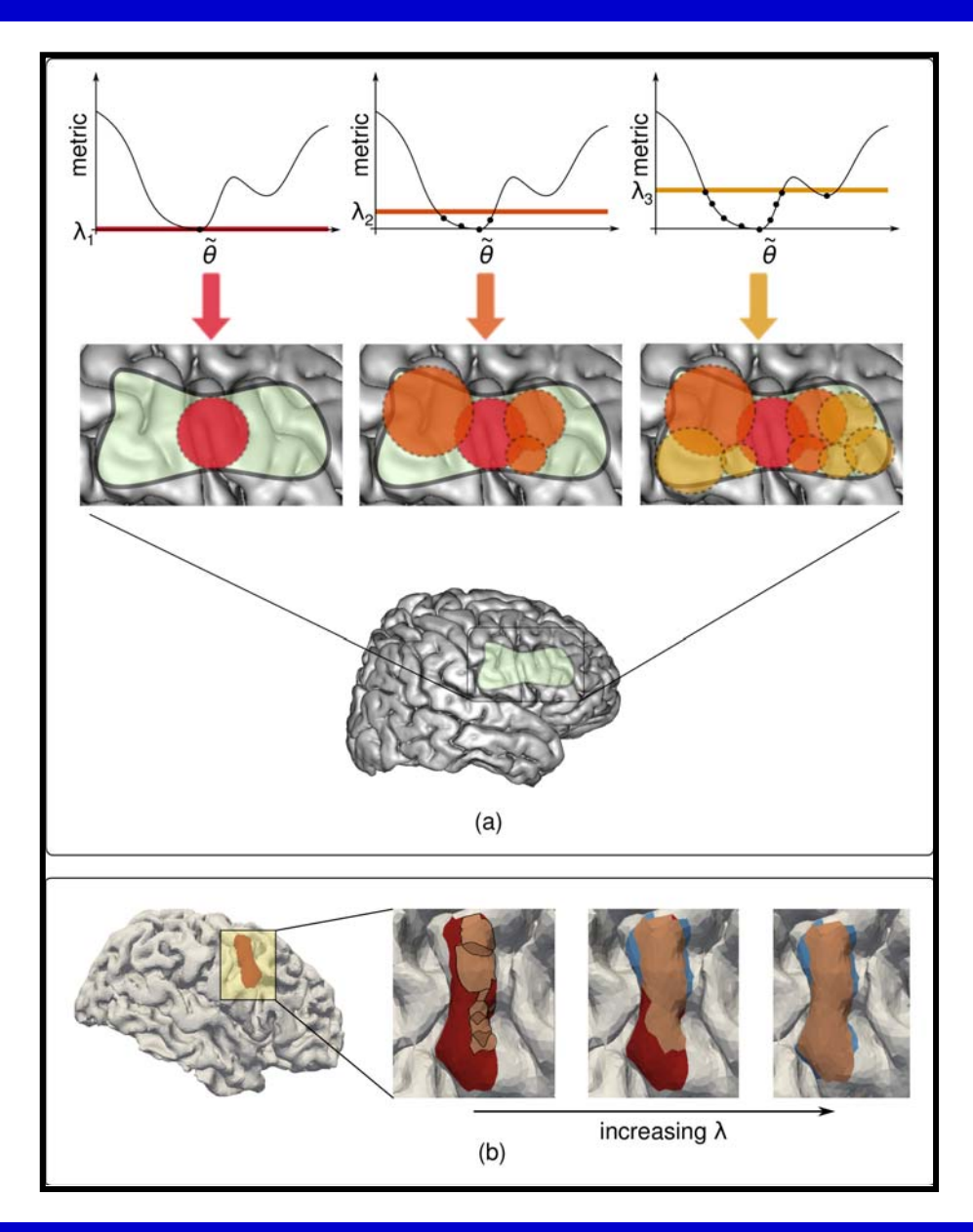
• Calculer la métrique  $\Psi$  pour tous les vecteurs  $\overline{a}(\Theta)\otimes \overline{a}(\Theta)$  susceptibles d'être solution où :

$$\overline{oldsymbol{a}}(oldsymbol{\Theta}) = \sum_{oldsymbol{ heta} \in oldsymbol{\Theta}} oldsymbol{a}(oldsymbol{ heta})$$

et où  $\Theta$  désigne un sousensemble de  $\Theta^{(e,f)}$  contenant les positions de dipôles contigus.

• Identifier les P maxima globaux de  $\Psi$ .

## La méthode 2*q*-ExSo-MUSIC (*q*≥2)



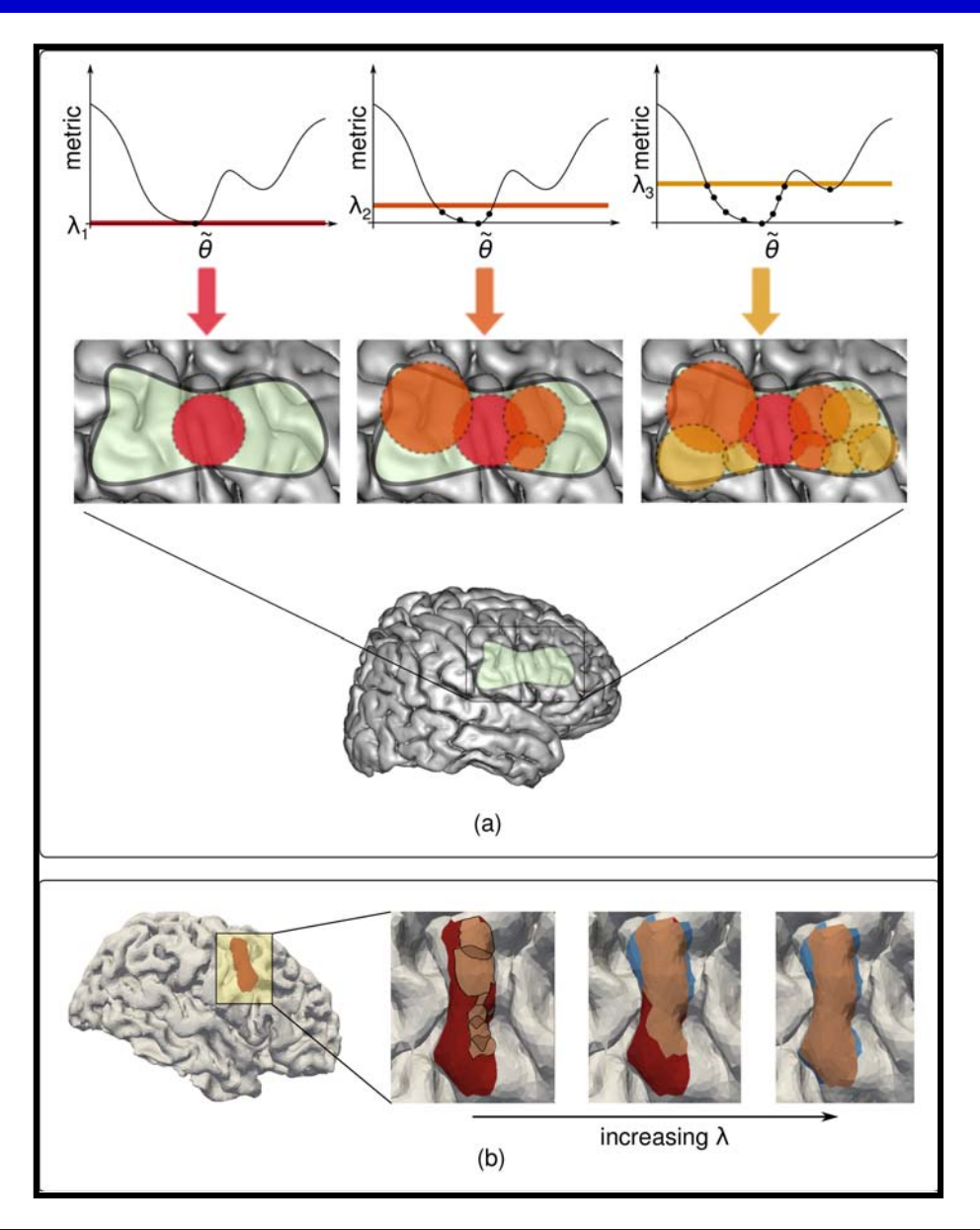
Calculer la métrique  $\Psi$  pour tous les vecteurs  $\overline{a}(\Theta)\otimes \overline{a}(\Theta)$  susceptibles d'être solution où :

$$\overline{a}(\mathbf{C}) = \sum_{oldsymbol{ heta} \in oldsymbol{\mathcal{O}}} a(oldsymbol{ heta})$$

et où  $\Theta$  désigné un sousensemble de  $\Theta^{(e,f)}$  contenant les positions de dipôles contigus.

- Identifier les P maxima globaux de  $\Psi$ .
- Solution trop chère en coût de calcul : beaucoup trop de vecteurs  $\overline{a}(\Theta)\otimes \overline{a}(\Theta)$  candidats.

## La méthode 2*q*-ExSo-MUSIC (*q*≥2)



• Calculer la métrique  $\Psi$  pour les vecteurs  $\overline{a}(\Theta)\otimes \overline{a}(\Theta)$  tels que :

$$\overline{oldsymbol{a}}(oldsymbol{\Theta}) = \sum_{oldsymbol{ heta} \in oldsymbol{\Theta}} oldsymbol{a}(oldsymbol{ heta})$$

où  $\Theta$  rassemble les positions d'un amas de dipôles de forme quasi-circulaire.

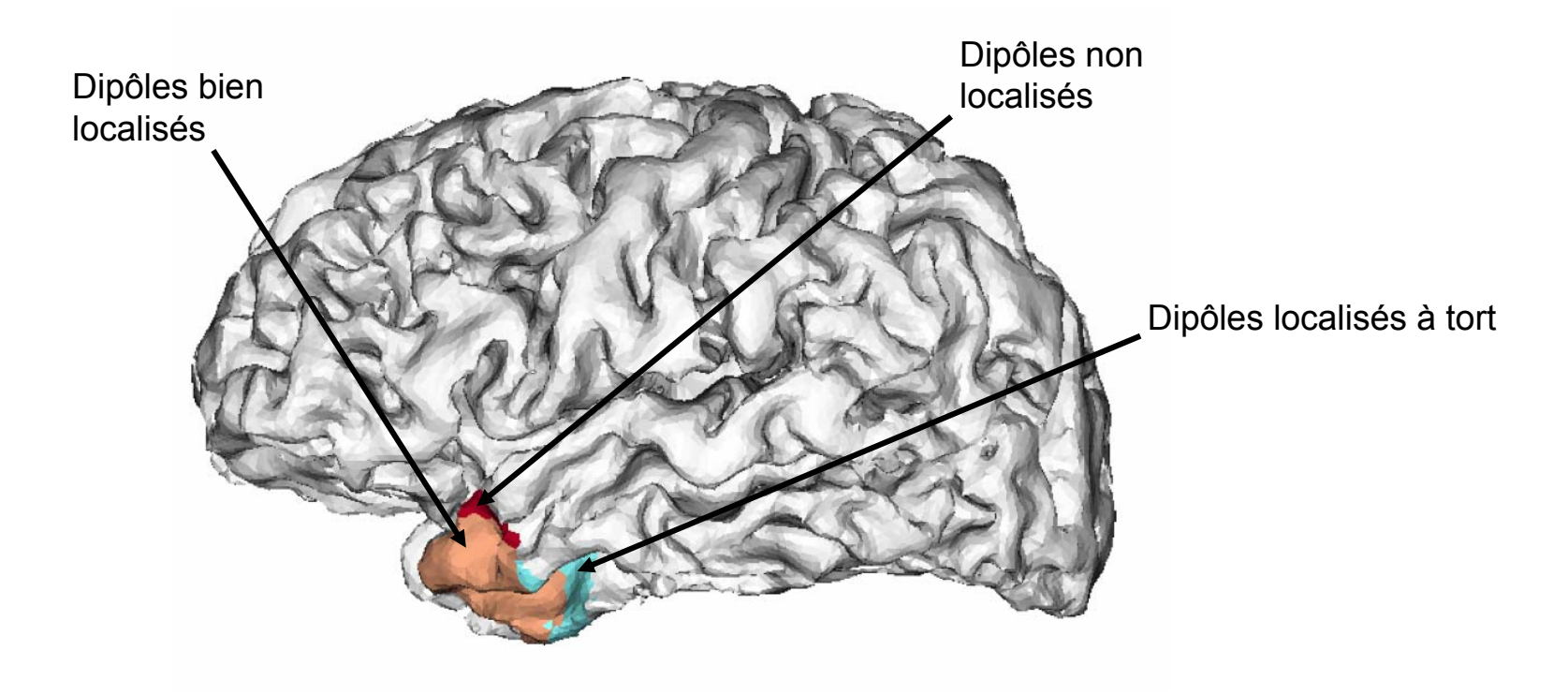
Seuiller la métrique obtenue.

$$\overline{a}(\mathbf{\Theta})\otimes \overline{a}(\mathbf{\Theta})$$

- Contexte applicatif et formulation du problème
  - 1. Les épilepsies pharmacorésistantes
  - 2. Méthodes d'observation non invasives
  - 3. Modélisation et localisation de sources
- II. Quelques outils mathématiques
  - 1. Tenseurs et décompositions associées
  - 2. Statistiques d'ordre supérieur
- III. La méthode 2q-ExSo-MUSIC (q>1)
  - 1. Principe de la méthode
  - 2. Gain de la méthode
  - 3. Limitations de la méthode
- IV. Conclusions et perspectives

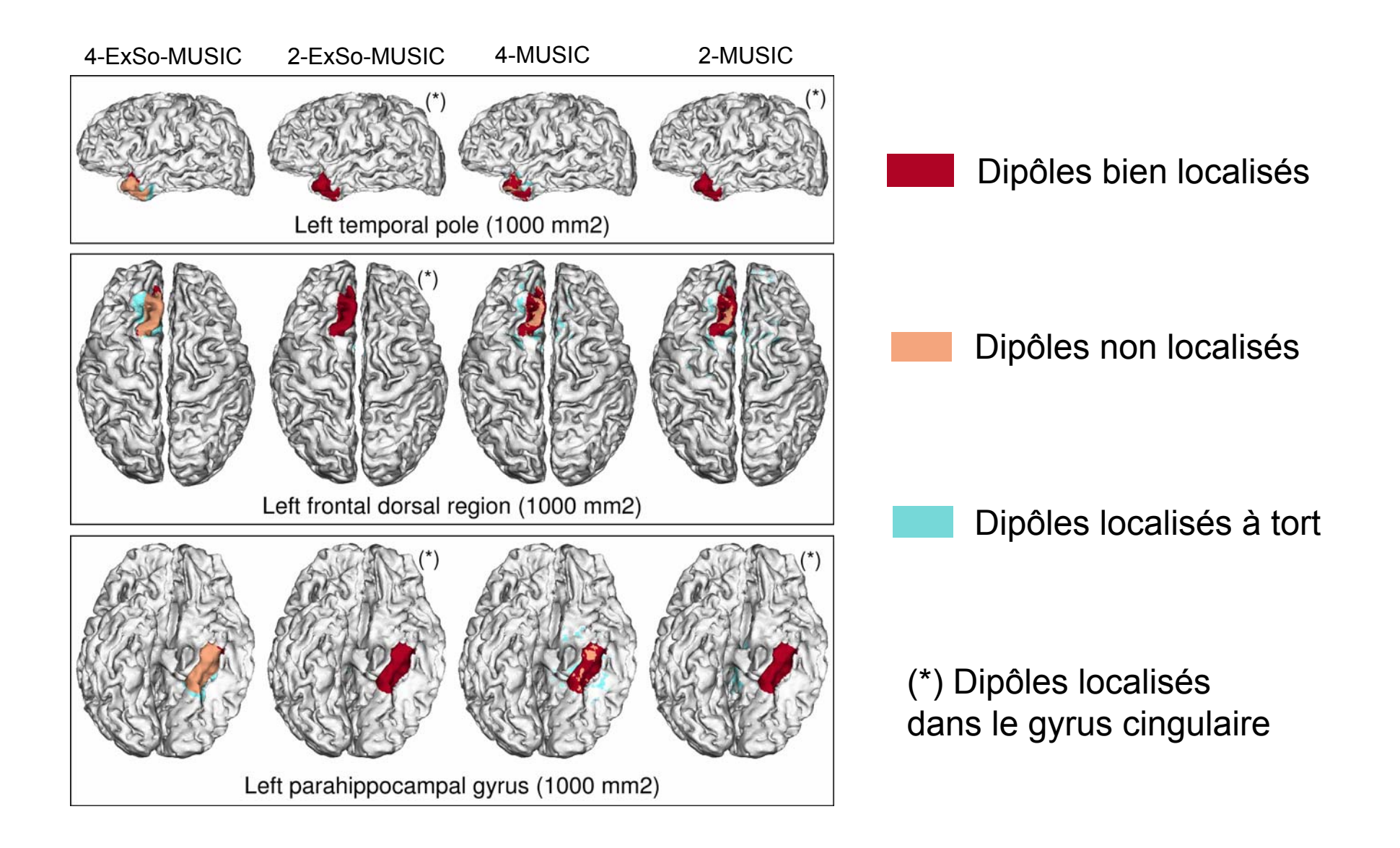
## Localisation de générateurs épileptiques (4/6)

Décomposition de Tucker3 contrainte d'un tableau cumulant d'ordre 4

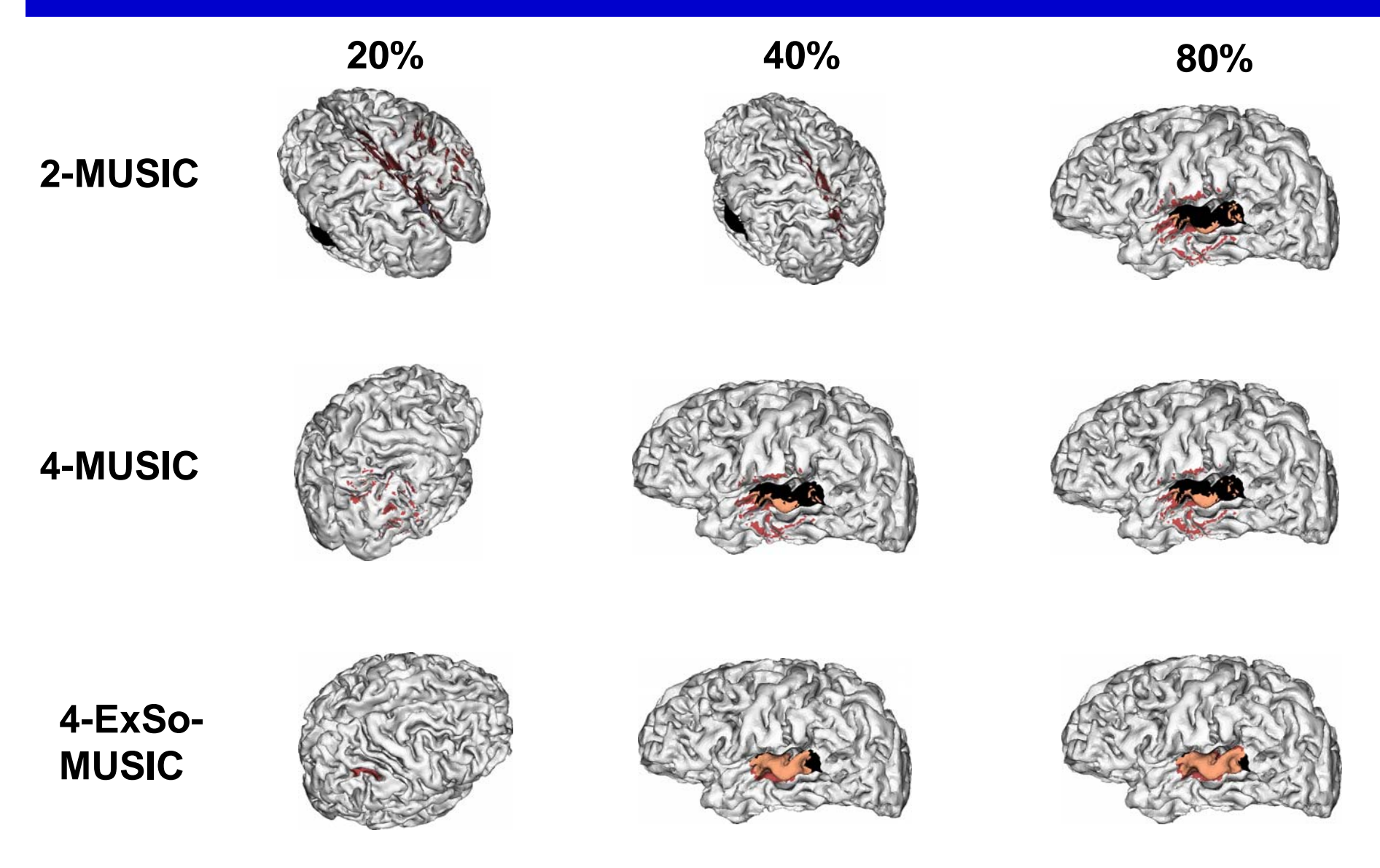


Pôle temporal gauche : 10 cm²

## Localisation de générateurs épileptiques (5/6)

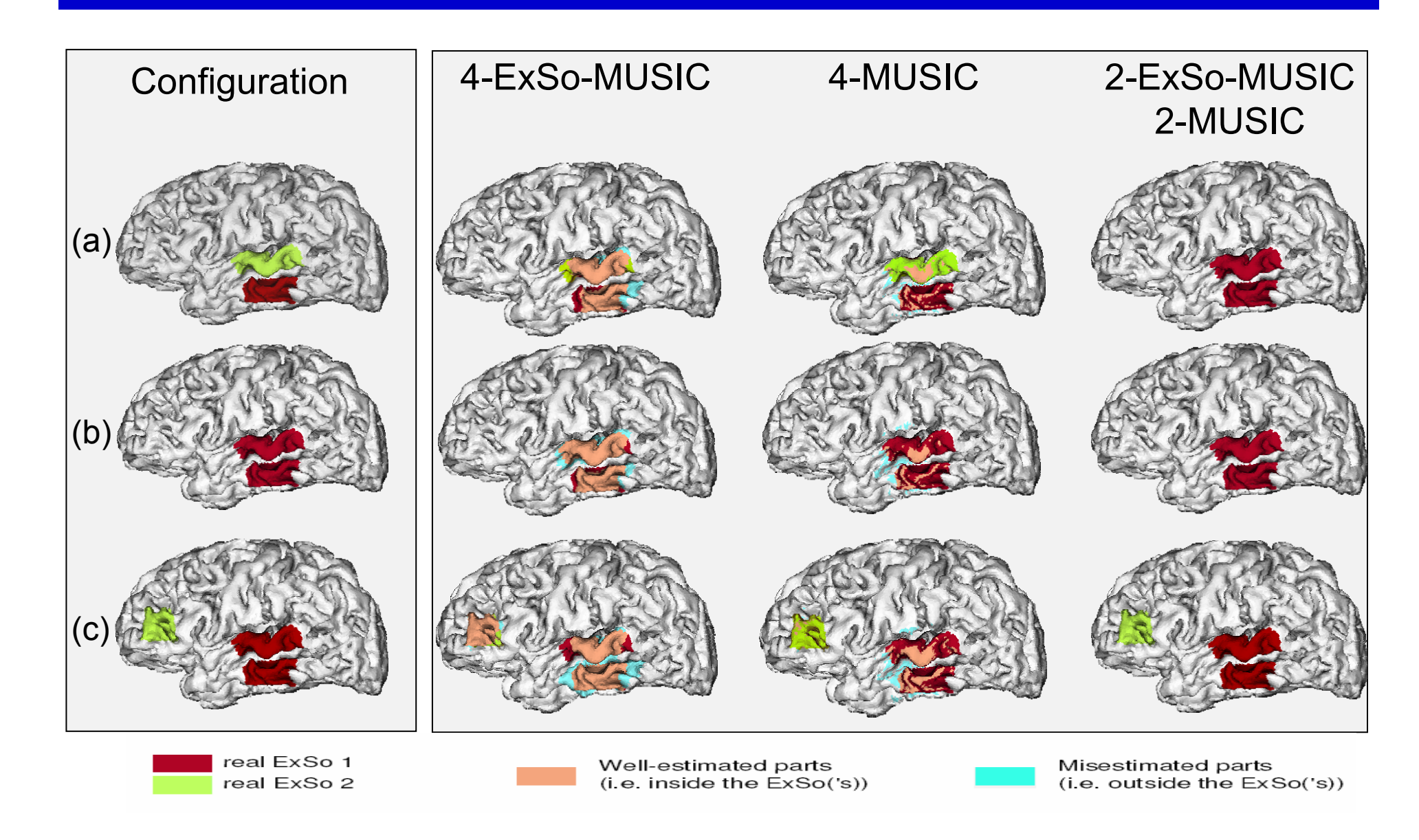


## Localisation de générateurs épileptiques (6/6)

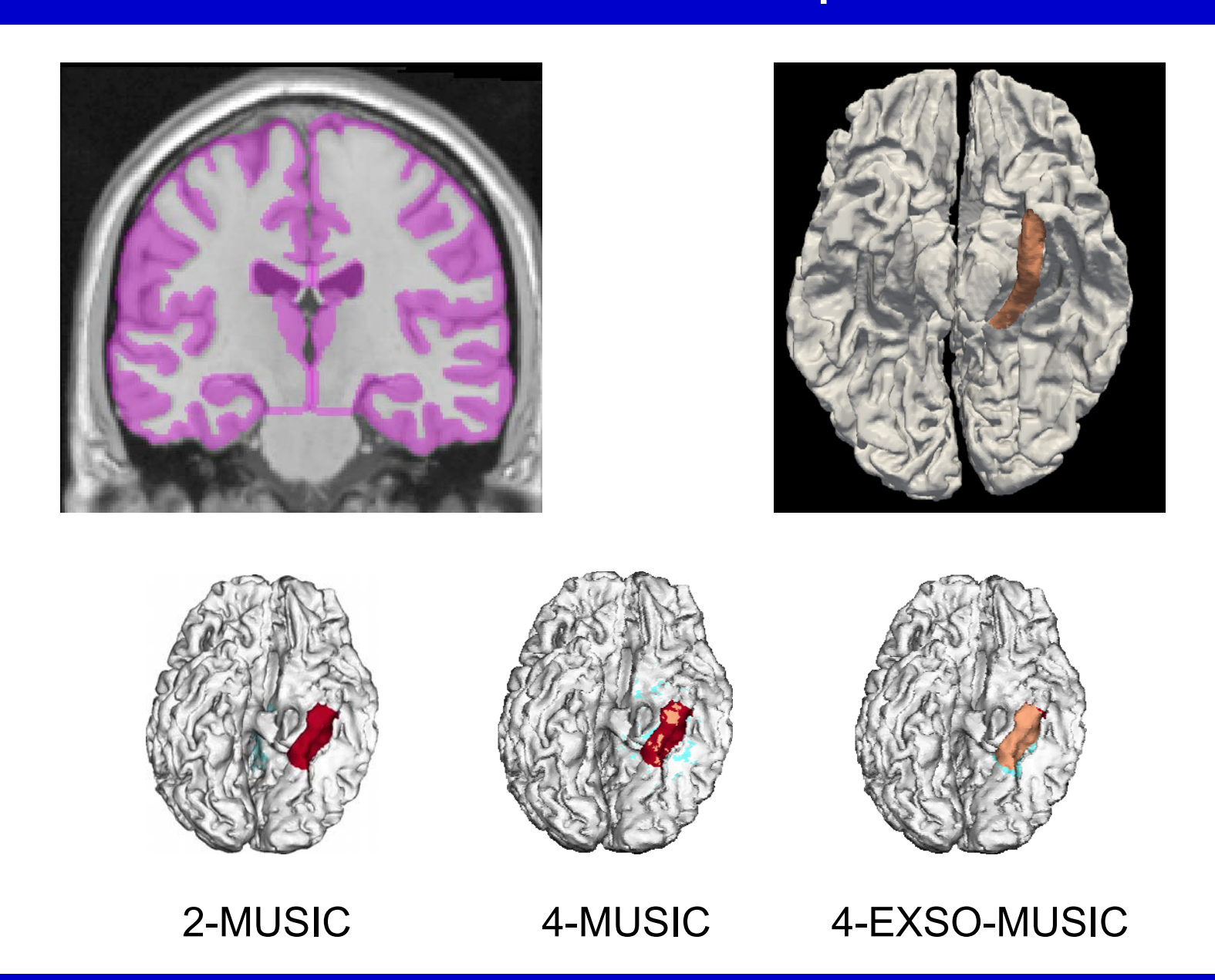


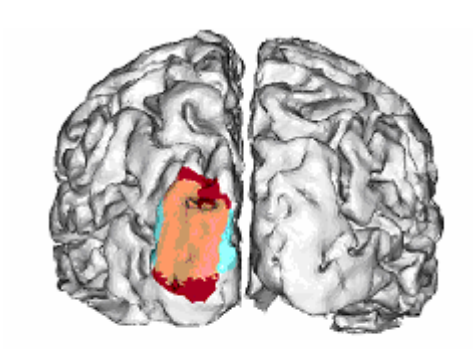
Gyrus temporal surface gauche: 10 cm<sup>2</sup>

#### Localisation d'une ou deux sources distribuées

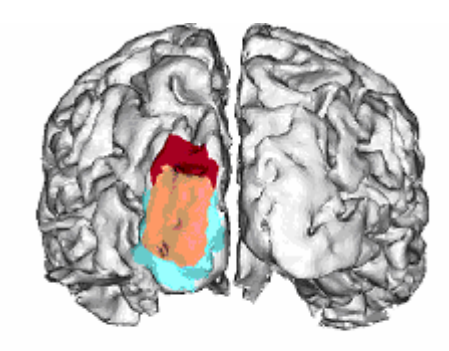


## Localisation de structures plus internes









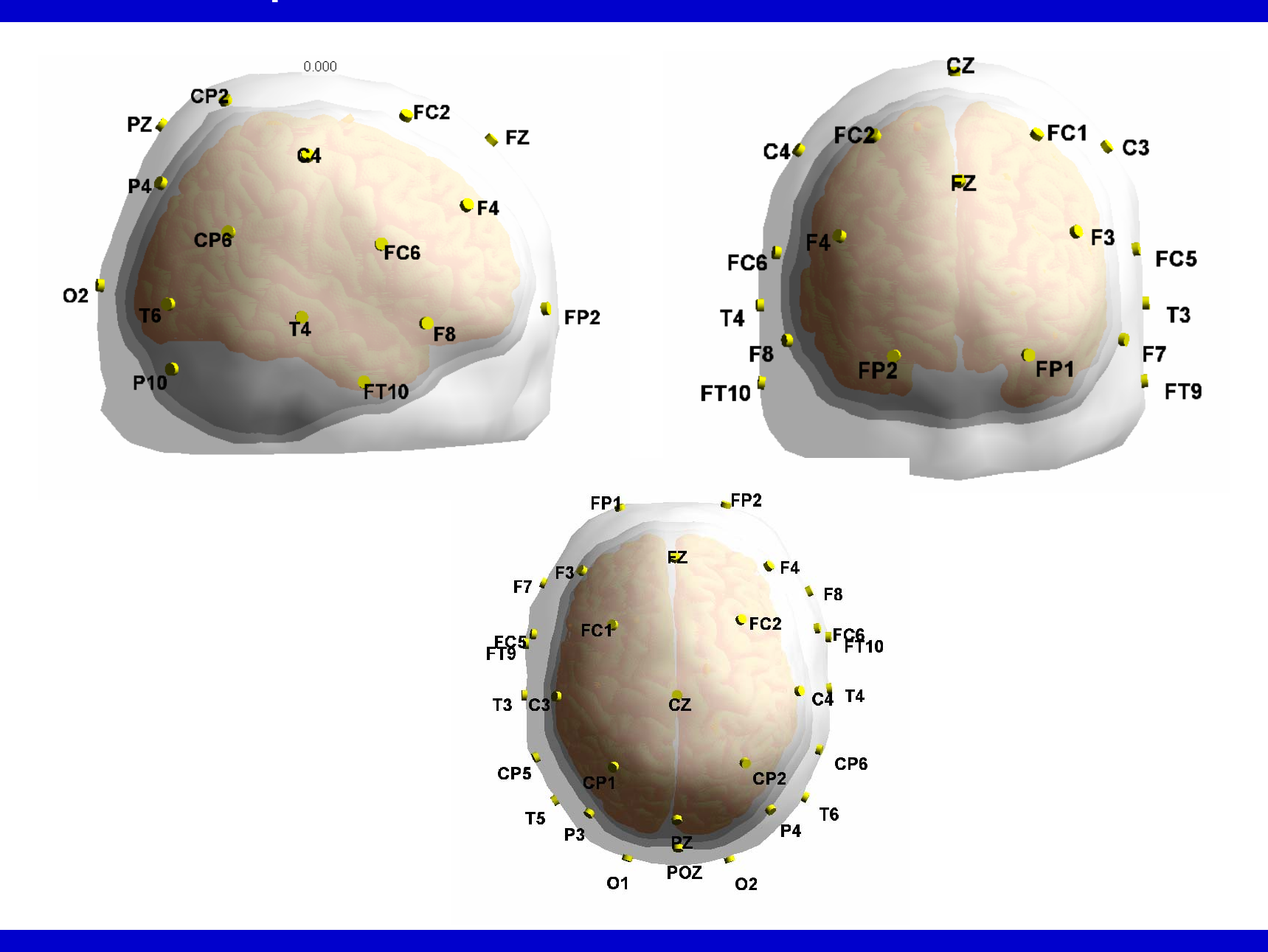
~2s (comprising one spike)

- Résultats obtenus par 4-ExSo-MUSIC à gauche pour un EEG de 40 secondes (10240 échantillons) et à droite pour un EEG de 1.95 seconde (500 échantillons).
- Précision de localisation supérieure à celle des approches classiques de type MUSIC même pour 500 échantillons.

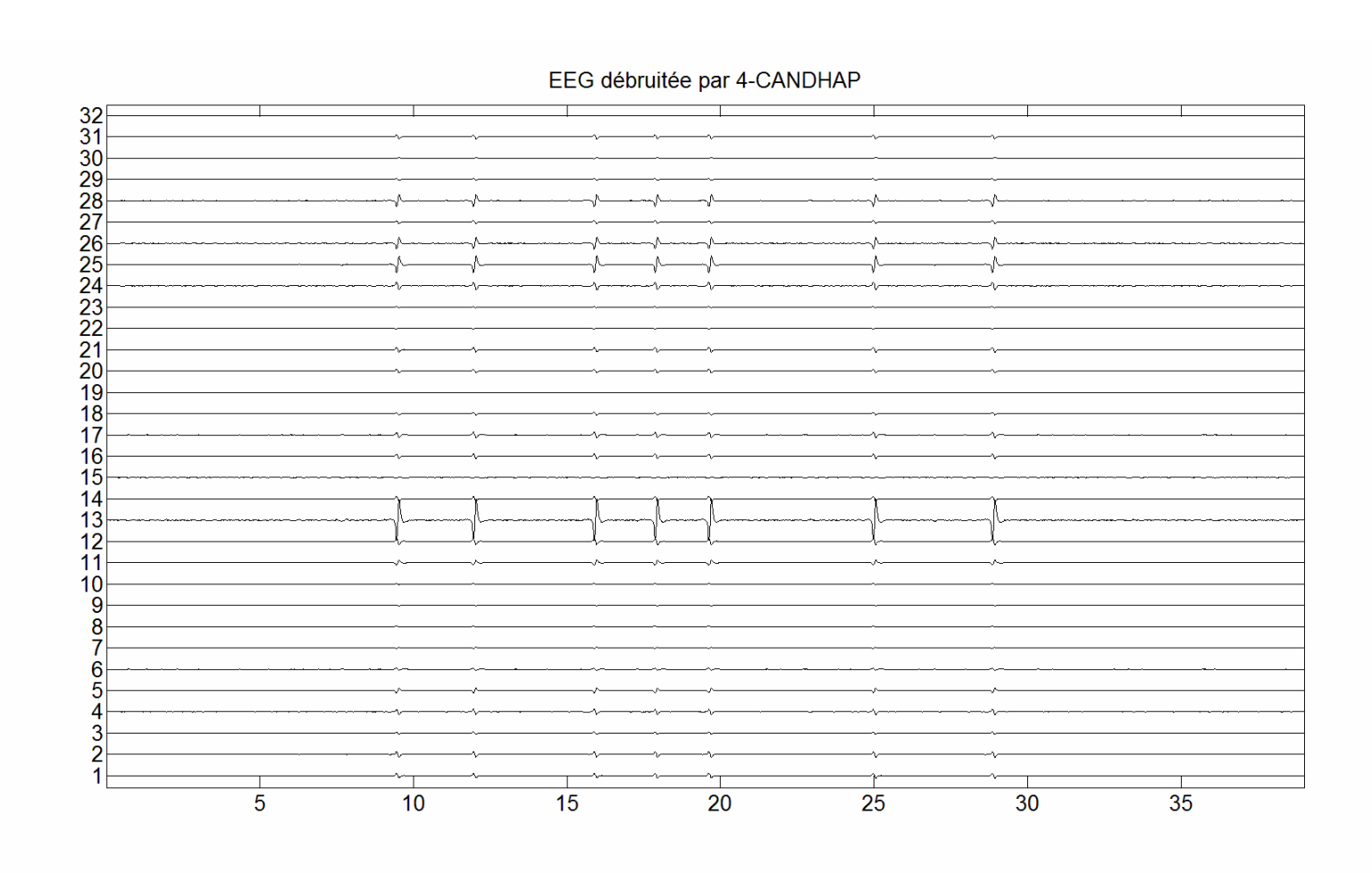
#### Plan du cours

- Contexte applicatif et formulation du problème
  - 1. Les épilepsies pharmacorésistantes
  - 2. Méthodes d'observation non invasives
  - 3. Modélisation et localisation de sources
- II. Quelques outils mathématiques
  - 1. Tenseurs et décompositions associées
  - 2. Statistiques d'ordre supérieur
- III. La méthode 2q-ExSo-MUSIC (q>1)
  - 1. Principe de la méthode
  - 2. Gain de la méthode
  - 3. Limitations de la méthode
- IV. Conclusions et perspectives

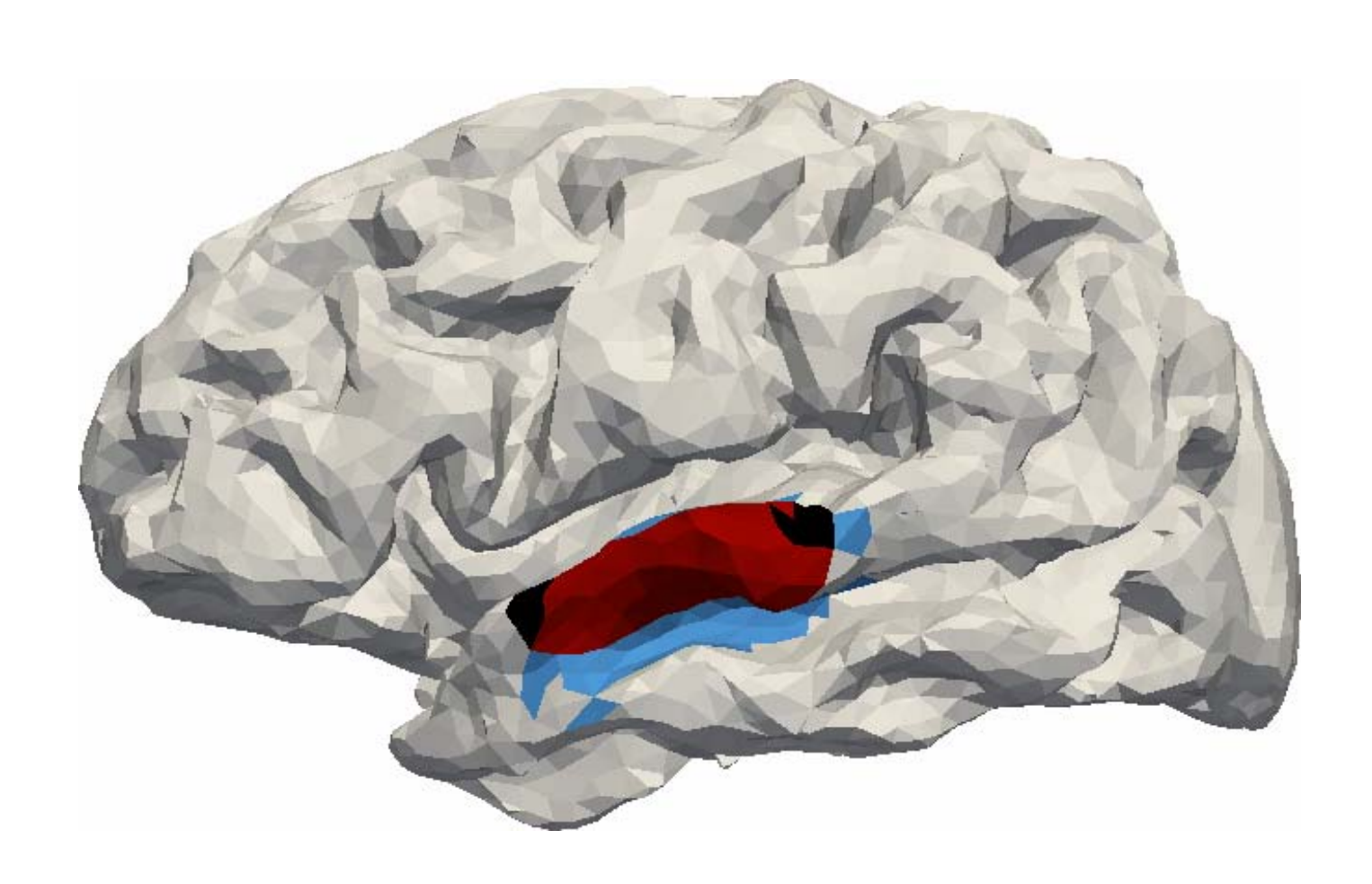
## Disposition des 32 électrodes EEG



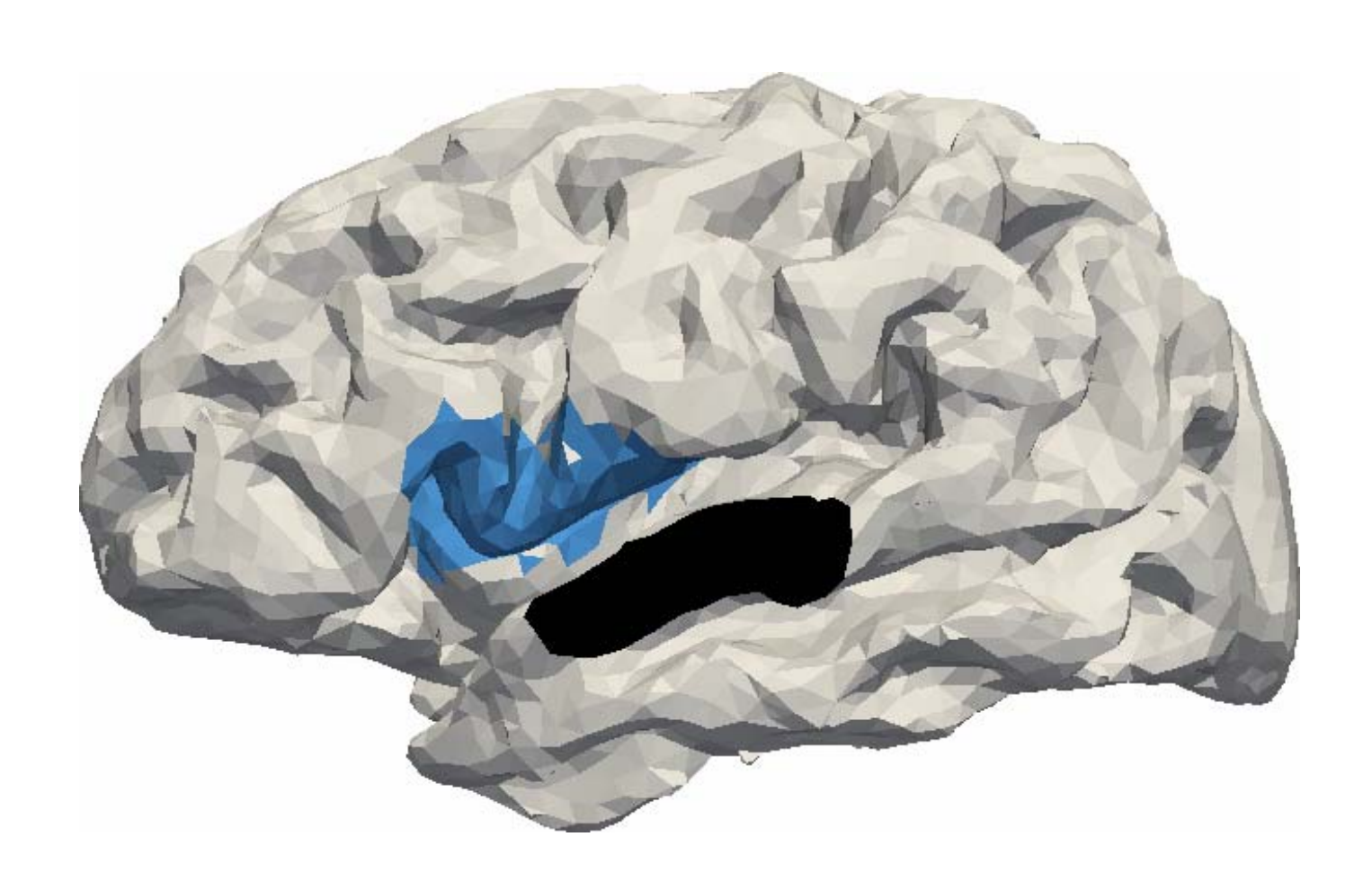
# Signaux EEG simulés



## Données simulées non bruitées



## Données simulées bruitées



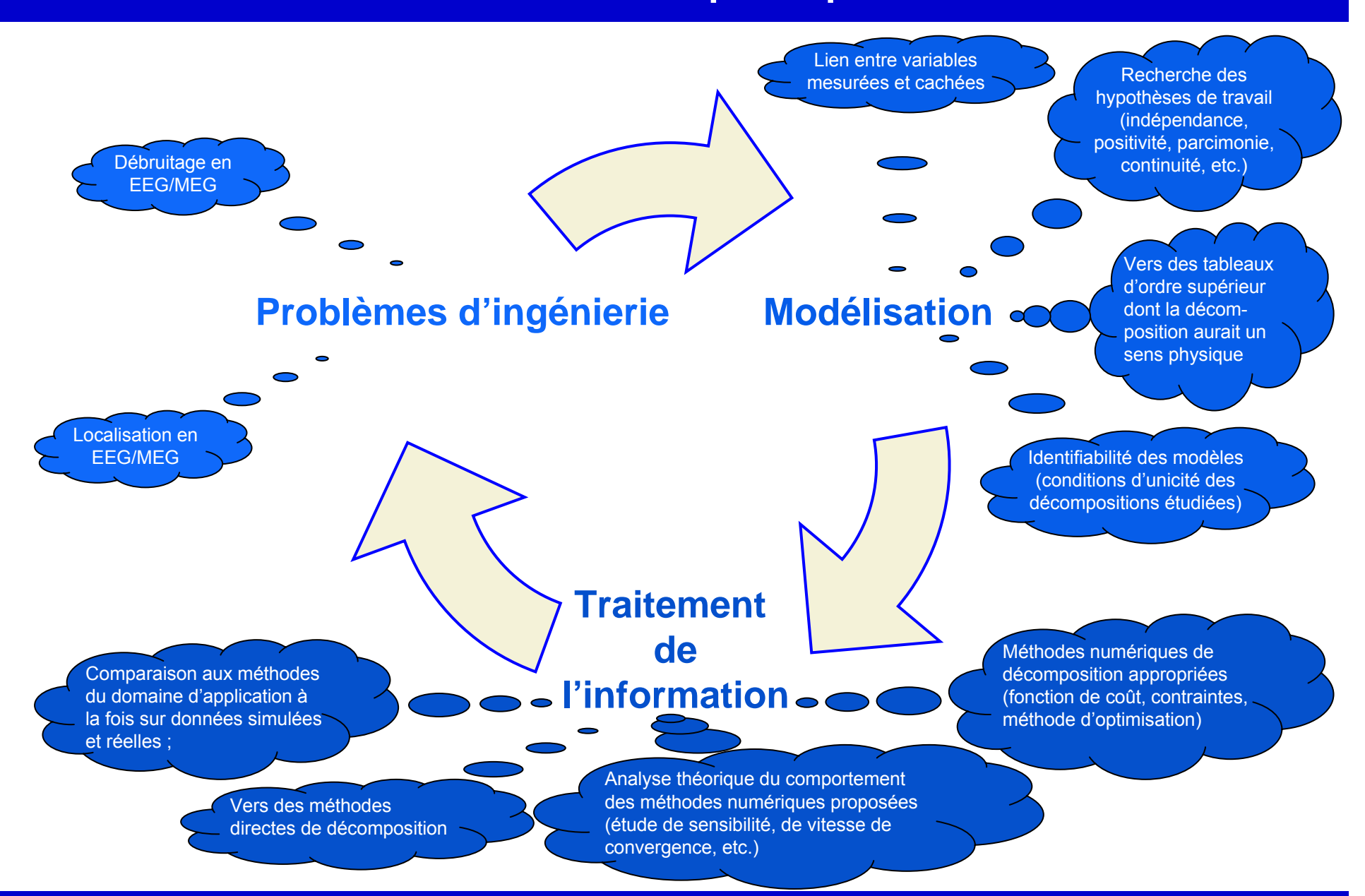
# Données simulées débruitées par 4-CANDHAP



#### Plan du cours

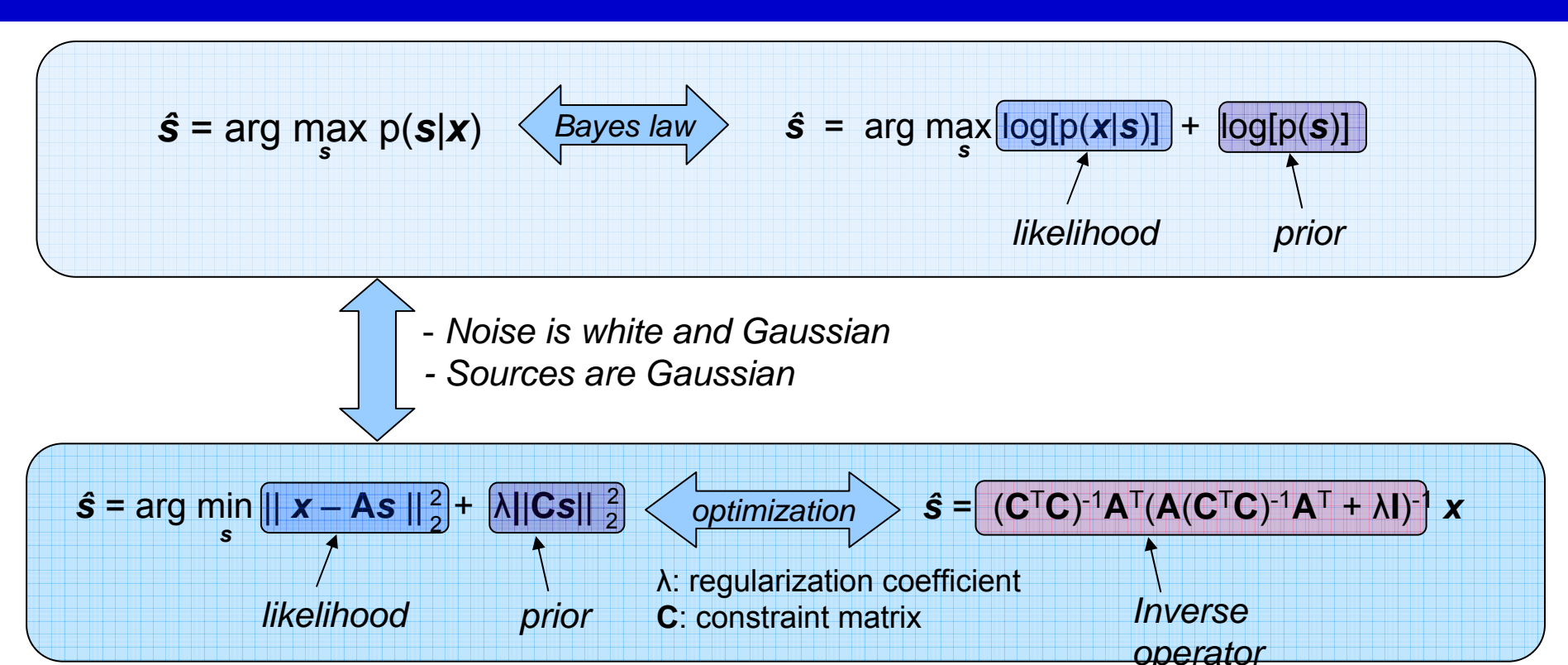
- I. Contexte applicatif et formulation du problème
  - 1. Les épilepsies pharmacorésistantes
  - 2. Méthodes d'observation non invasives
  - 3. Modélisation et localisation de sources
- II. Quelques outils mathématiques
  - 1. Tenseurs et décompositions associées
  - 2. Statistiques d'ordre supérieur
- III. La méthode 2q-ExSo-MUSIC (q>1)
  - 1. Principe de la méthode
  - 2. Gain de la méthode
  - Limitations de la méthode
- IV. Conclusions et perspectives

#### Conclusions et perspectives



## Planches additionnelles

### Principe de méthodes de type « minimum norm »



Method	Constraint Matrix C	Meaning of the prior
Minimum Norm Estimates (MNE)	Identity I	Sources are spatially independent. The depth of the sources is not taken into account.
Weighted Minimum Norm Estimate (WMNE)	Diagonal matrix <b>W</b> W <sub>ii</sub> =   a <sub>i</sub>	Sources are spatially independent. The depth of the sources is taken into account.
Laplacian Minimization (~LORETA)	W L L is the matricial laplacian operator	Each sources is assumed to be correlated with its neighbours. The depth of the sources is taken into account.

# Influence de la quasi-similarité intra-patch (2)

